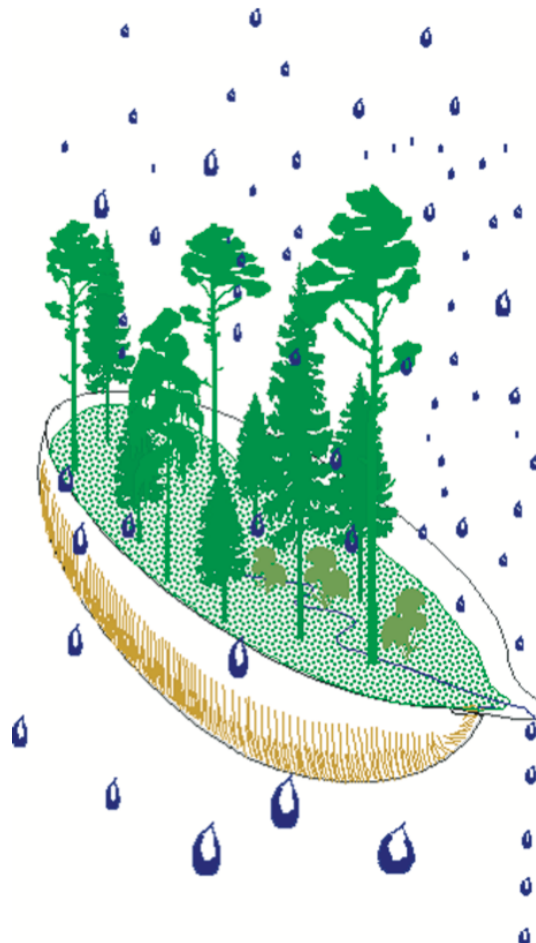


Integrerad övervakning av miljötillståndet i svensk skogsmark – IM

Årsrapport 2023

Integrated monitoring of the environmental status
in Swedish forest ecosystems – IM

Annual report for 2023



James Weldon (red.)

Integrerad övervakning av miljötillståndet i svensk skogsmark – IM

Årsrapport 2023

Integrated monitoring of the environmental status
in Swedish forest ecosystems – IM

Annual report for 2023

James Weldon (red.)

SLU, Vatten och miljö: Rapport 2024:11

Institutionen för vatten och miljö
Sveriges lantbruksuniversitet (SLU) Box 7050
750 07 Uppsala

Tel. 018 – 67 31 10

<http://www.slu.se/vatten-miljo>

DOI: 10.54612/a.76qqvf1j2i
ISBN: 978-91-8046-577-9

Integrerad övervakning av miljötillståndet i svensk skogsmark - IM. Årsrapport 2023

Rapportförfattare James Weldon (redaktör), SLU	Utgivare Institutionen för vatten och miljö, SLU Postadress Box 7050, 750 07 Uppsala Telefon 018-67 10 00
Rapporttitel och undertitel Integrerad övervakning av miljötillståndet i svensk skogsmark - IM. Årsrapport 2023	Beställare Naturvårdsverket 106 48 Stockholm Finansiering Nationell MÖ, programområde Skog
Nyckelord för plats Gårdsjön, Aneboda, Kindla och Gammtratten	
Nyckelord för ämne Ekosystemstudier, avrinningsområde, vattenbalans, kemiska ämnesbudgetar, effekter på biota, vegetation, markprocesser	
Tidpunkt för insamling av underlagsdata 2023	
<p>Sammanfattning Naturvårdsverkets miljöövervakningsenhet genomför Integrerad övervakning av miljötillståndet i skogsekosystem (IM) inom programområdet "Skog". Övervakningen är relaterad till konventionen om effekter av långtransporterade luftföroreningar "Long-range transboundary air pollution – LRTAP 1979" (UN/ECE). IVL Svenska Miljöinstitutet (IVL), Sveriges Geologiska Undersökning (SGU) och Institutionen för vatten och miljö (IVM) vid Sveriges lantbruksuniversitet (SLU) utför övervakningen på uppdrag av Naturvårdsverket.</p> <p>Miljöövervakningen omfattar ekosystemstudier på avrinningsområdesnivå med bestämningar av vattenbalans, kemiska ämnesbudgetar och effekter på biota, främst vegetation och studier av markprocesser. Syftet är dels att som referensområdena ge relevanta bakgrundsdata, dels att söka skilljefrågor och följa med i mänsklig påverkan från naturlig variation. Modellering för prognostisering av utvecklingen är ett viktigt inslag. IM programmet lämpar sig också väl till testning av modeller. Mätningarna utförs i skyddade områden med lång kontinuitet, utan skogliga aktiviteter. Deposition av luftföroreningar och potentiell klimatpåverkan är de enda mänskliga störningarna i områdena.</p> <p>Föreliggande rapport redovisar undersökningar från år 2023 och inbegriper de fyra IM-områdena Gårdsjön, Aneboda, Kindla och Gammtratten. Verksamheten under året beskrivs kortfattat i text med glimtar av intressanta resultat som framkommit. Bearbetade data och resultat återfinns i tabellbilagan i slutet på rapporten.</p>	

1 Förord

Naturvårdsverkets miljöövervakningsenhet genomför Integrerad övervakning av miljötillståndet i skogsekosystem (IM) inom programområdet ”Skog”. Övervakningen är relaterad till FN-konventionen om effekter av långtransporterade luftföroreningar ”Long-range transboundary air pollution – LRTAP 1979” (UN/ECE). IVL Svenska Miljöinstitutet (IVL), Sveriges geologiska undersökning (SGU) och Institutionen för vatten och miljö (IVM) vid Sveriges lantbruksuniversitet (SLU) utför övervakningen på uppdrag av Naturvårdsverket.

Miljöövervakningen omfattar ekosystemstudier på avrinningsområdesnivå med bestämningar av vattenbalans, kemiska ämnesbudgetar och effekter på biota, främst vegetation och studier av markprocesser. Utförarna ansvarar för olika delprogram i ett integrerat system där IVL följer depositionen av ämnen, SGU undersöker markens fysikaliska och mineralologiska egenskaper och följer markhydrologiska processer medan IVM, SLU följer klimat och avrinning, markkemi och -biologi, vegetation samt samordnar verksamheterna. Till detta kommer ett särskilt ansvar för IVL vad avser undersökningsområdet Gårdsjön i Bohuslän. Prov- och datainsamling vid detta område genomförs i huvudsak av IVL, Göteborg.

Huvudansvariga för IM:s olika delmoment och de som bidrar med data till denna och annan rapportering framgår av nedanstående tabell:

Samordning	Pernilla Rönnback, SLU (Lars Lundin, SLU)
Internationella kontakter	Ulf Grandin, SLU Pernilla Rönnback, SLU
Deposition, krondropp	Gunilla Pihl Karlsson, IVM
Meteorologi, hydrologi, datahantering och modellering	Pernilla Rönnback, SLU Mikael Östlund, SLU (Lars Lundin, SLU) Filip Moldan, IVL
Mark- och markvattenkemi, förfall & förfanedbrytning (metaller inklusive Hg i Aneboda, SITES)	Magnus Simonsson, SLU
Markfysik, grundvatten	Kajsa Bovin, SGU
Bäckvattenkemi	Pernilla Rönnback, SLU (Lars Lundin, SLU) Filip Moldan, IVL
Vegetation inkl. träd, epifytiska alger & -lavar	Ulf Grandin, SLU

För mer utförlig information om de olika delmomenten hänvisas till dessa personer.

Provtagning och observationer genomfördes i områdena huvudsakligen av Sara Jutterström, Gårdsjön, Joel Gräzman, Aneboda, Kent Wirenborg, Kindla och Johan Hörnqvist, Gammtratten. Insamlade prover för kemisk analys tas om hand och analyseras av ackrediterade laboratorier vid IVL och SLU. Göran Gullberg och Mikael Östlund vid SLU, David Eveborn, och Bo Thunholm vid SGU samt Filip Moldan och Sara Jutterström vid IVL har medverkat i arbetet med att karakterisera avrinningsområdena och att installera, underhålla och sköta driften av mätutrustning.

Textdelen av föreliggande rapport består av bidrag från Lars Lundin, Magnus Simonsson, Mikael Östlund och Ulf Grandin från SLU. James Kurén-Weldon har bearbetat dessa bidrag och färdigställt rapporten med dess nuvarande innehåll. I rapporten sammanfattas resultaten från de fyra IM-områdena Gårdsjön, Aneboda, Kindla och Gammtratten under 2023. På grund av begränsningar i budgeten från Naturvårdsverket redovisas även metalldata från Aneboda, bl.a. Hg, insamlade på uppdrag av annan finansiär (SITES). Rådata finns digitalt tillgängliga vid IVM, SLU på <http://www.slu.se/sv/institutioner/vatten-miljo/miljoanalys/integrerad-monitoring-im/> och vid SGU på <http://apps.sgu.se/kartvisare/kartvisare-miljoovervakning-grundvatten-sv.html>.

James Kurén-Weldon

2 Innehåll

1	Förord	i
2	Innehåll	ii
3	Sammanfattning	3
3.1	<i>Summary (English)</i>	4
4	Integrerad miljöövervakning (IM) i ett historiskt perspektiv	5
5	Övervakningens syfte	6
6	Val av områden och undersökningsmetodik	7
6.1	<i>Gårdsjön - SE-04</i>	9
6.2	<i>Aneboda - SE-14</i>	10
6.3	<i>Kindla - SE-15</i>	11
6.4	<i>Gammtratten - SE 16</i>	12
7	Vädret; Temperatur- och nederbördsförhållanden 2023	13
7.1	<i>Temperatur, nederbörd, grundvattennivå och avrinning</i>	13
8	Vattenbalans 2023	17
9	Modellerad vattenbalans 1997-2023	19
9.1	<i>Hela perioden 1997-2023</i>	19
9.2	<i>År 2023</i>	20
10	Kemiska förhållanden	24
11	Vegetationsperiodens längd	28
12	Beståndsutveckling i Aneboda	30
13	Referenser	32
14	Medarbetare inom IM sedan starten 1996	33
14.1	<i>Ansvariga för IM vid Naturvårdsverket</i>	33
14.2	<i>Projektansvariga för delprojekten</i>	33
14.3	<i>Medarbetare för fältinstallationer, instrument och datahantering</i>	35
14.4	<i>Redaktör för årsrapporten</i>	35
14.5	<i>Fältobservatörer</i>	35
15	Tidigare publicerade årsrapporter	36
16	Appendix	38
16.1	<i>Koncentrationer</i>	38
16.2	<i>Transporter</i>	38
16.3	<i>Biologiska mätningar</i>	38
16.4	<i>Klimat och hydrologi</i>	39
17	Appendix (English)	40
17.1	<i>Concentrations</i>	40
17.2	<i>Fluxes</i>	40
17.3	<i>Biological measurements</i>	40
17.4	<i>Meteorology and hydrology</i>	41

3 Sammanfattning

Naturvårdsverkets miljöövervakningsenhet genomför Integrerad övervakning av miljötillståndet i skogsekosystem (IM) inom programområdet ”Skog”. Övervakningen är relaterad till konventionen om effekter av långtransporterade luftföroreningar ”Long-range transboundary air pollution – LRTAP 1979” (UN/ECE). IVL Svenska Miljöinstitutet (IVL), Sveriges Geologiska Undersökning (SGU) och Institutionen för vatten och miljö (IVM) vid Sveriges lantbruksuniversitet (SLU) utför övervakningen på uppdrag av Naturvårdsverket.

Miljöövervakningen omfattar ekosystemstudier på avrinningsområdesnivå med bestämningar av vattenbalans, kemiska ämnesbudgetar och effekter på biota, främst vegetation och studier av markprocesser. Syftet är dels att som referensområden ge relevanta bakgrundsdata, dels att söka skilja effekter av mänsklig påverkan från naturlig variation. Modellering för prognostisering av utvecklingen är ett viktigt inslag. IM programmet lämpar sig också väl till testning av modeller. Mätningarna utförs i skyddade områden med lång kontinuitet, utan skogliga aktiviteter. Deposition av luftföroreningar och potentiell klimatpåverkan är de enda mänskliga störningarna i områdena. Syftet med IM-övervakningen skiljer sig från syftena med övriga miljöövervakningsprogram genom att IM i detalj ska kunna förklara förändringar i miljön och därmed bidra till tolkningen av resultaten från de mer extensiva programmen.

Föreliggande rapport redovisar undersökningar från år 2023 och inbegriper de fyra IM-områdena Gårdsjön, Aneboda, Kindla och Gammtratten. Verksamheten under året beskrivs kortfattat i text med glimtar av intressanta resultat som framkommit. Bearbetade data och resultat återfinns i tabellbilagan i slutet på rapporten.

Mark och vatten i IM-områdena är jonsvaga, med permanent sura förhållanden och med tämligen höga aluminiumhalter i bäckvatten. Vattnen har låga halter av de oorganiska fraktionerna av näringssämnena kväve (ammonium och nitrat) och fosfor. Gammtratten är det minst sura området. Bäckvattnet har ett medel-pH runt 5,6 och halter oorganiskt aluminium som inte genomgående överskrider det intervall, 20–80 µg/l, som Lydersen och Löfgren (2002) angav som kritiskt för olika fiskarter. Nitrat i markvatten varierar kraftigt i tid och rum. I samtliga områden utom Gårdsjön är koncentrationen i genomsnitt lägre i markvattnet än i bulkdeposition och krondropp.

Under 2023 var årsmedeltemperaturen 0,7–1,2°C högre än långtidsmedelvärdet (1961-1990) vid alla IM-områdena. Den högre temperaturen har medfört att Gårdsjön har ungefär en månads längre vegetationsperiod idag jämfört med när mätningarna startade 1996. Nederbördens för 2023 visade nära normalvärden (1961-1990) för Gårdsjön och Aneboda (avvikelse var 0-2%; jämfört med SMHI 1991-2020 var avvikelsen större med för Gårdsjön +20% och för Aneboda +9%) medan Kindla hade högre nederbörd (19% och 25%) och Gammtratten lägre (21% och 26%) jämfört med de två referensperioderna.

En studie över utvecklingen i Aneboda efter en kraftigt angrepp av granbarkborrar sammanfattas. Slutligen visar resultatet en expansion av bok, vilket kan tyda på att ett regimskifte från grandominerad till bokdominerad skog har inletts, men det är för tidigt i processen för att avgöra detta.

3.1 Summary (English)

The Swedish Environmental Protection Agency (SEPA) conducts Integrated Monitoring (IM) of the environmental status in forest ecosystems within the "Forest" part of Sweden's national environmental monitoring program. The monitoring is related to the Convention on "Long-Range Transboundary Air Pollution – LRTAP 1979" (UN/ECE). The Swedish Environmental Research Institute (IVL), the Geological Survey of Sweden (SGU) and the Department of Aquatic Sciences and Assessment (IVM) at the Swedish University of Agricultural Sciences (SLU) perform the investigations on behalf of the SEPA.

The monitoring program includes ecosystem studies at catchment level with determinations of hydrological and chemical budgets as well as effects on biota, primarily the vegetation and studies of soil processes. The aims are to collect relevant background data from reference areas that can be used to separate anthropogenic disturbance of the ecosystem by air pollution from natural variation. Model simulations for prognoses of future environmental status are an important part of the program. IM also furnish possibilities to test models. The IM sites are located in protected areas where there has been little forestry activity for many decades. Atmospheric deposition of pollutants and anthropogenically induced climate change are the only human disturbances within the IM sites.

This report documents the investigations carried out in 2023 on the four IM-sites Gårdsjön, Aneboda, Kindla and Gammtratten. The results are briefly described in the text, with some glimpses of the year's results. The entire set of data and results are included in appendixes at the end of the report, as well as digitally.

The IM sites are base poor with permanently acidic conditions and high aluminium concentrations in soil water, groundwater and streams. The waters have low levels of the inorganic fractions of nitrogen (ammonium and nitrate) and phosphorus. Gammtratten is the least acidic area. The stream water has an average pH of around 5.6 and levels of inorganic aluminum that do not consistently exceed the range of 20–80 µg/l, which Lydersen and Löfgren (2002) identified as critical for various fish species. Nitrate in soil water varies greatly in time and space. In all areas except Gårdsjön, the concentration is on average lower in the soil water than in bulk deposition and throughfall.

In 2023, the annual mean temperature was 0.7–1.2°C higher than the long-term mean (1961–1990) at all IM sites. The higher temperature has meant that Gårdsjön has about a month longer vegetation period today compared to when the measurements started in 1996. Precipitation in 2023 showed close to normal values (1961–1990) for Gårdsjön and Aneboda (deviations were 0–2%; compared to SMHI 1991–2020, the deviation was larger with for Gårdsjön +20% and for Aneboda +9%), while Kindla had higher precipitation (19% and 25%) and Gammtratten lower (21% and 26%) compared to the two reference periods.

Finally, the results of a study looking at the development of tree species at Aneboda after heavy disturbance from bark beetle attack are presented. A strong expansion of beech has been observed, which might indicate a shift from a spruce dominated forest, but it is too early in the process to be certain.

4 Integrerad miljöövervakning (IM) i ett historiskt perspektiv

Baserat på Riksdagens beslut med anledning av propositionen En god livsmiljö (1990/91:90) fick Naturvårdsverket i uppdrag av regeringen att utreda och lämna förslag på ett nytt miljöövervakningssystem för Sverige. Regeringens ställningstagande innebar bl.a. att ”*Det nationella miljöövervakningsprogrammet byggs ut i syfte att förbättra insamling och beskrivning av såväl nationell som internationell information*”. Uppdraget redovisades i september 1992 i ett antal rapporter där ett förslag till integrerad övervakning av skogliga referensområden redovisades av en arbetsgrupp ledd av Kjell Johansson (Naturvårdsverket rapport 4107). Förslaget om integrerad miljöövervakning omnämndes även av den referensgrupp som utredde den framtida övervakningen av skogsbruk och skogsmark ledd av Anders Berntell (Naturvårdsverket rapport 4110).

Utredningen föreslog ett reviderat program för miljöövervakning inom referensområden med syfte att integrerat beskriva tillstånd i trender i mark/vatten och organismssystem i skogslandskapet, klämma orsakssamband och med hjälp av modeller bedöma framtida miljötillstånd utifrån olika belastningsscenarier. Övervakningen föreslogs genomföras i små avrinningsområden i skogsmarker och fjällområden, vilka undantagits från skogsbruk och där förändringar kan relateras till långdistansspridda luftföroreningar. Mätningarna ska även utgöra referensdata till bl.a. övervakningen i marker där skogsbruk bedrivs. Utredningen föreslog 14 referensområden, som baserades på det befintliga övervakningsprogrammet PMK5 (Monitor 1985 – PMK: På vakt i naturen, Naturvårdsverket informerar) varav 11 stycken klassades som B-områden med något mindre omfattande övervakning och 3 stycken A-områden där B-områdenas program kompletteras så att man ska kunna kvantifiera inre vattenburna flöden av ämnen, men även av flöden i fallförråd och krondropp. Detaljerade budgetberäkningar för ämnen i mark och avrinnande vatten skulle kunna utföras. Utformningen av det reviderade programmet hade även anpassats för att tillgodose Sveriges åtaganden i det internationella samarbetet inom integrerad monitoring samt kravet på rapportering och användning inom det internationella konventionsarbetet.

Baserat på dessa utredningar tog Naturvårdsverket fram en särskild rapport (Miljöövervakningen inför 2000-talet) i anslutning till den fördjupade anslagsframställningen 1991/92-1993/94. I slutändan resulterade dessa utredningar i att Naturvårdsverket genomför Integrerad övervakning av miljötillståndet (IM) i fyra skogsekosystem inom programområdet ”Skog”. Programmet initierades 1995 och undersökningsområden etablerades under perioden 1996-1999. Undersökningarna är kopplade till den internationella UN-ECE konventionen om långtransporterade luftföroreningar – CLRTAP 1979, ”Convention on Long-Range Transboundary Air Pollution”. Huvudinriktningen inom konventionen är begränsningar av utsläpp av luftföroreningar. Inom konventionen finns huvudsakligen tre inrikningar varav en handlar om effekter på mark, vatten och samhälle. Här ingår sex samarbetsprogram ”International Co-operative Programmes - ICP” varav ICP IM är ett riktat mot effekter i ekosystem. Inom detta ingår mätningar av luft, vegetation, mark och grundvatten samt ytvatten och 15 av Europas länder deltar. Bestämningar syftar till att följa naturliga processer, med koppling till luftföroreningar, i orörda naturliga skogsekosystem med modellering för prognoser om framtiden. Övervakningen omfattar ett antal obligatoriska delprogram, som alla länder skall genomföra. Sverige har dessutom valt att utföra några frivilliga delprogram, bl.a. algpåväxt på barr och förnanedbrytning.

Göteborgsprotokollet, som del i CLRTAP, var främst inriktat på åtgärder för motverkan av utsläpp av föroreningar med effekter på försurning och eutrofiering samt ozonrelaterade problem. Protokollet uppdateras löpande. Ytterligare inrikningar på övervakningen har

tillkommit såsom metallproblematik och interaktioner med ändrat klimat. Till detta kom ett direktiv från EU, Takdirektivet (NEC – National Emission Ceilings) ratificerat 2001. Detta är riktat mot svaveldioxid, kväveoxider, flyktiga organiska föreningar och ammoniak. Till direktivet bistår IM med information.

Samarbetsprogrammen inkluderar ca 20 ECE-nationer och varje program har ett ledande land och ett programcenter - PC. ICP IM leds av Sverige och programcentret har sedan länge varit lokaliserat till Finland (SYKE – Suomen Ympäristökeskus/Finlands miljöcentral). År 2021 flyttades PC till Sveriges lantbruksuniversitet, SLU och institutionen för vatten och miljö. Vid SYKE var Martin Forsius främst ansvarig med stort bistånd från Sirpa Kleemola. I Sverige leds nu PC av James Kurén Weldon med Ulf Grandin som högst ansvarig tillika ordförande i ICP IM tillsammans med Salar Valinia. Närmaste medarbetare är Hampus Markensten, Pernilla Rönnback, Karin Eklöf och Martyn Futter.

Till det svenska IM-programmet finns även en extern referensgrupp bestående av representanter från forskning, myndigheter och olika organisationer. Referensgruppen lämnar synpunkter på och ger stöd till programmets genomförande. År 2023 ingick i referensgruppen representanter från SLU, Skogforsk, IVL Svenska Miljöinstitutet, Naturvårdsverket, SGU, Energimyndigheten, Skogsstyrelsen, länsstyrelserna och Skogsindustrierna.

5 Övervakningens syfte

Övervakningen är inriktad mot att studera miljöeffekter och att undersöka konsekvenserna för hela ekosystemet av depositionen av kväve, svavel och tungmetaller. Det övergripande syftet med övervakningen i Sverige är att:

- i små, väldefinierade avrinningsområden samordna mätningar och utvärderingar så att samhällets behov av detaljerad kunskap och prognoser långsiktigt kan tillgodoses m. a. p. klimatförändringar, försurning, eutrofiering och metallpåverkan i typiska, svenska skogsekosystem,
- tillhandahålla kunskap som nationellt och internationellt kan användas som underlag för att optimera miljöförbättrande åtgärder,
- tillhandahålla kunskap som kan användas för att underlätta tolkningen av resultat från andra miljöövervakningsprogram eller forskningsprojekt,
- generera underlag till utveckling av modeller för att beräkna t. ex. kritiska belastningsnivåer (Critical Loads/Levels) och framtida miljötillstånd,
- sprida kunskap till allmänheten om vilka processer som påverkar miljötillståndet i skogen.

Miljöövervakningen utförs på avrinningsområdesnivå med bestämningar av vattenbalans, kemiska ämnesbudgetar och effekter på biota, främst vegetation och studier av markprocesser. Mätningarna används för att särskilja effekter av mänsklig påverkan från naturlig variation. Prognostisering av utvecklingen med hjälp av matematiska modeller är ett viktigt inslag. Med undantag av Gårdsjön ligger områdena i skyddade naturmiljöer med lång kontinuitet (Natura 2000), utan skogsbruksåtgärder. Deposition av luftförureningar och potentiell klimatpåverkan är de enda mänskliga störningarna i områdena.

För att kunna uppfylla målet med programmet måste övervakningen vara långsiktig. IM-övervakningen skiljer sig från övriga miljöövervakningsprogram genom att IM i detalj skall kunna förklara förändringar i miljön. IM-programmet bör på sikt också kunna inrymma

övervakning av klimatförändringar, ozon samt persistenta organiska föreningar (POP) och deras effekter på biotan.

6 Val av områden och undersökningsmetodik

Målet är att på ekosystemnivå följa vattenomsättning och biogeokemiska processer för att förklara observerade effekter på biota vilket innebär kvantitativa bestämningar av inflöde, förråd och utflöde. För en utförlig redovisning av den metodik som används hänvisas till [IM-manualen](#) (EDC 1993, SYKE 1998, SLU 2022).

De bestämningar som görs i avrinningsområdet omfattar klimatologiska och fysikaliska förhållanden (t.ex. berggrund, jordlager och vatten), kemiska förhållanden i mark, vatten och vegetation samt biologiska förhållanden (t.ex. flora och skogliga bestårndsdata). De processer som studeras är deposition, vittring, omsättning och utbyte i marken av vatten och kemiska ämnen, avdunstning och gasutbyte, upptag i levande biomassa och utflöden i avrinnande vatten från området. De övergripande samband som nyttjas är vattenbalans och hydrokemiska budgetar;

$$P = E + R + \Delta S$$

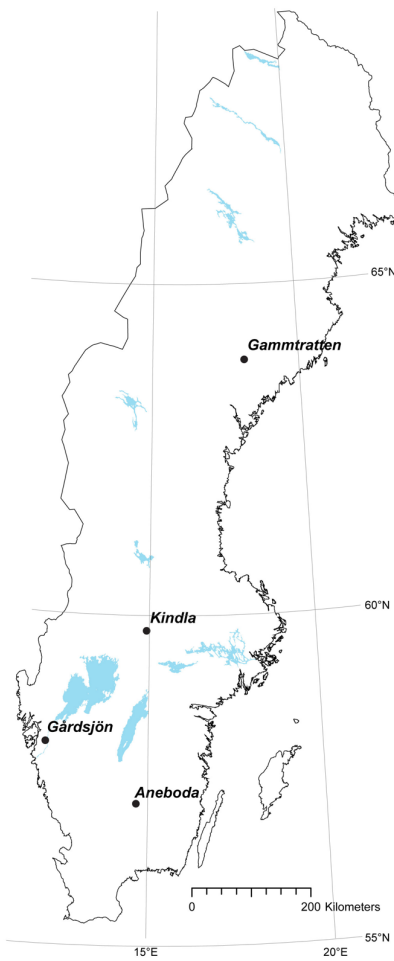
där
P = nederbörd,
E = avdunstning,
R = avrinning och
 ΔS = ändring i vattenmagasin;

$$DEP + WEATH = UPTAKE + LEACH + \Delta POOL$$

där
DEP = deposition av ämnen,
WEATH = vittring,
UPTAKE = vegetationsupptag,
LEACH = utlakning och
 $\Delta POOL$ = ändring i förråd

Övervakningen av ekosystemets olika delar görs inom väldefinierade små avrinningsområden. Ett område bör vara så homogent som möjligt vad avser geologi och vegetation. Det bör vara i storleksordningen 10-100 ha och inneslutas av en likartad omgivning för att eliminera randeffekter. Området bör vara typiskt för regionen och vara lokaliserat över högsta kustlinjen för att undvika inflytande av marina sediment och relikt salt. Det bör ha lång kontinuitet utan skogliga åtgärder, så långt möjligt opåverkad hydrologi och vara fritt från störande aktiviteter, något som bäst tillgodoses i naturskyddade reservat. Området skall avvattnas av en bäck, vara fritt från sjöar och ha liten andel myrmark. Avstånd till förorenande aktiviteter och utsläpp bör vara > 50 km. Det bör också ligga så långt från havet att direkt inverkan därifrån är starkt reducerad.

I Sverige genomfördes en omfattande förändring av miljöövervakningen 1995, vilket innebar att fyra IM-områden utsågs. Dessa har successivt byggts upp. Avrinningsområdena vid F1 Gårdsjön (SE-04) och Aneboda (SE-14) har sedan 1970 respektive 1982 lång kontinuitet med mätningar utförda i IVL:s regi. Redan 1985 överfördes dock ansvaret för mätningarna i Aneboda till Naturvårdsverket inom ramen för *Programmet för övervakning av miljökvalitet*, PMK5. Naturvårdsverket tog över ansvaret för mätningarna i Gårdsjön 1996 då både Gårdsjön och Aneboda inlemmades i det nya IM-programmet. Kindla (SE-15) etablerades 1997 medan Gammtratten (SE-16) etablerades 1999. Områdena är likartade och domineras av barrskog främst gran (Tabell 1), men lokaliserade till regioner med olika klimat och depositionsförhållanden (Figur 1).



Figur 1. De svenska IM-områdenas geografiska lokalisering.
Location of the Swedish IM sites.

Tabell 1. Andelar i IM-områdena för olika växtsamhällen klassificerade enligt Nordiska Ministerrådet (1994). Data från inventeringar i mitten på 1990-talet av Sven Bråkenhielm, SLU.
Proportions at the IM sites of different vegetation communities classified according to the Nordic Council of Ministers (1994). Data from inventories in the mid 1990's performed by Sven Bråkenhielm, SLU.

	Aneboda ¹ %	Gårdsjön ² %	Kindla %	Gammtratten %
Granskog av blåbärsristyp (<i>Vaccinium myrtillus</i> -spruce forest)	76,3	56,2	64,2	18,7
Sumpgranskog (wet spruce forest)	14,2	11,0	22,6	9,6
Barrblandskog av blåbärsristyp (<i>Vacc. myrt.</i> and mixed conifers)	5,8	8,1	4,6	63,9
Öppet kärr (open mire)	0	0	1,3	4,3
Planterad tallungskog (young pine stand)	0	15,4	0	0
Öppen fastmark (open well-drained soils)	0	4,5	2,0	1,8
Övrigt (other)	3,7	4,8	5,3	1,8
Totalt (Total)	100	100	100	100

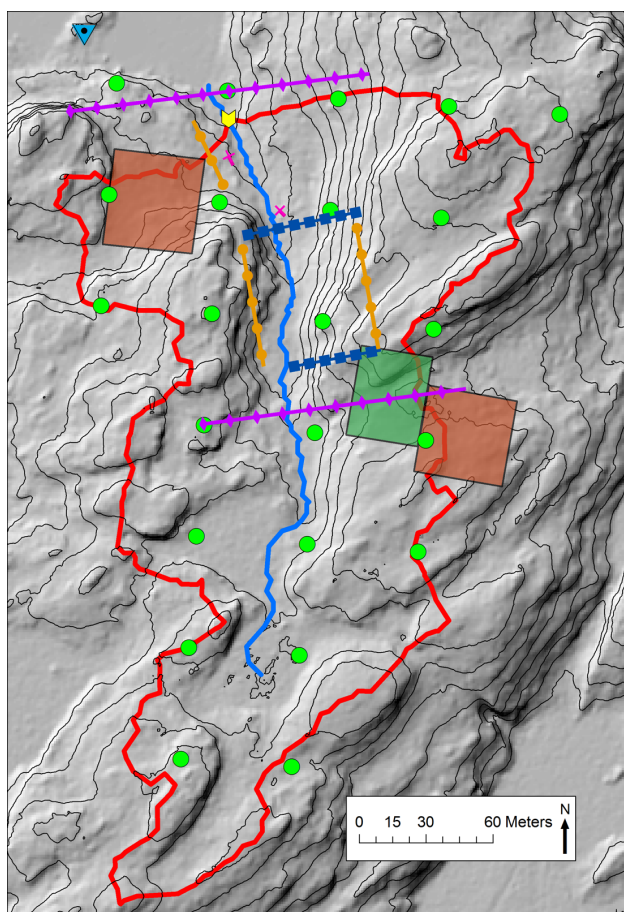
¹Stormfällning 2005 och barkborreangrepp 2007-2010 har dödat huvuddelen stora granar (Löfgren et al., 2014)

²Under 2012 utfördes en gallring i delar av området

6.1 Gårdsjön - SE-04

IM-området i Gårdsjön (Figur 2) är ett litet avrinningsområde (F1) om knappt 0,04 km², dominaterat av tunna (0-0,7 m) moräntäcken med hög frekvens sten och block. Området är ett av flera som undersöks med inriktning på terrester och hydrologisk forskning. Undersökningarna har pågått sedan 1970. Gårdsjön har ingått som PMK- och sedan IM-område sedan 1991. Området har varit skogklätt under hundratals år men avverkades i början av 1900-talet. Gallring utfördes 1968. Cirka 0,5 hektar i sydöstra delen av avrinningsområdet avverkades 1980 och återplanterades därefter med tall. Ett mindre område i söder (0,2 ha) ingår i en större kalyta som togs upp under 1990-talet. En traktorväg byggdes centralt genom området 1999. Under 2012 utfördes en gallring (70 m³ sk togs ut) i de södra delarna av avrinningsområdet. Boskap har betat i området fram till 1950-talet.

Läge:	Västkusten, Bohuslän, Västra Götalands län
Lat./Long:	N 58° 03' ; E 12° 01'
SWEREF99 TM:	N 6438620; E 324256
Kartblad:	Göteborg 7B NO
Area:	3,7 ha
Altitud:	114-140 m.ö.h.
Lutning (grader/procent)	12°/22 %
Berggrund:	Yngre gnejsiga granodioriter
Årsmedeltemperatur:	+ 6,7 °C
Nederbörd:	1000 mm
Avdunstning:	480 mm
Avrinning:	520 mm



Figur 2. Avrinningsområde och instrumentering i Gårdsjön

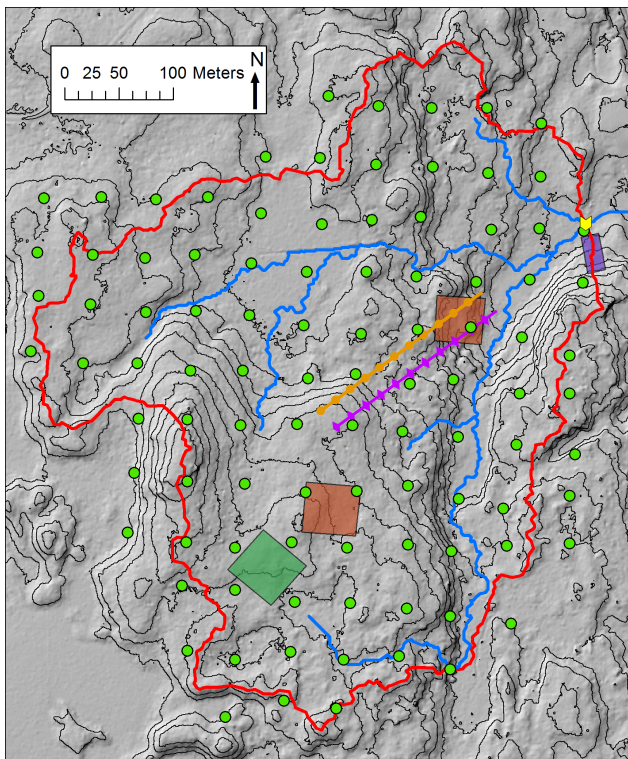
Figure 2. Catchment area and instrumentation at Gårdsjön

Red line= catchment water divide
 Blue line=stream
 Light blue squares with black dot=bulk deposition and meteorology
 Orange area or line with circles=litterfall,
 Purple area or line with diamonds=throughfall
 Dark green area= soil sampling plot
 Brown area=vegetation plot
 Blue squares or line with squares=groundwater sampling
 Pink cross or line with cross=soil water sampling
 Green rings = circular plots for monitoring tree layer, needle chemistry, algae and lichen cover on needles
 Yellow arrow= hydrology and water chemistry in catchment outlet.
 Contours at 2 m intervals. Map prepared by Ola Langvall and Ivan Clegg, SLU

6.2 Aneboda - SE-14

IM-området i Aneboda (Figur 3) är ett 0,2 km² stort avrinningsområde mitt på Sydsvenska höglandet. Boskap har under flera århundraden nyttjat området, som sannolikt kalavverkades i mitten av 1800-talet med spontan skogsåterväxt därefter. Under tiden 1940-1955 gjordes tidvis gallringar. Undersökningar avseende mark, vegetation och vatten har pågått sedan 1982 initialt inom IVL:s regi och sedan 1985 inom ramen för IM:s föregångare PMK5. Aneboda etablerades som IM-område 1995. Området utgörs av småbruten, ställvis mycket stor- och rikblockig morän med relativt stort inslag av fuktiga och blöta marktyper. Skogen domineras av gran med inblandning av främst tall, bok och björk. Det bör påpekas att boken föryngrar sig väl. En kraftig storm (Gudrun) som drabbade södra Sverige i januari 2005 orsakade partiell stormfällning inom IM-området med olika efterverkningar som följd. Området har därefter drabbats av kraftiga barkborreangrepp och omfattande dödlighet för äldre gran (Löfgren et al. 2014). Trots den stora föryngringen av bok, verkar gran dominera återväxten efter barkborreangreppet (Weldon & Grandin 2019).

Läge:	Sydsvenska höglandet, Småland, Kronobergs län
Lat./Long:	N 57° 05' ; E 14° 32'
SWEREF99 TM:	N 6330292; E 473043
Kartblad:	Växjö 5E NV
Area:	18,9 ha
Altitud:	210-240 m.ö.h.
Lutning (grader/procent)	7°/13 %
Berggrund:	Granit
Årsmedeltemperatur:	+ 5,8 °C
Nederbörd:	750 mm
Avdunstning:	470 mm
Avrinning:	280 mm



Figur 3. Avrinningsområde och instrumentering i Aneboda

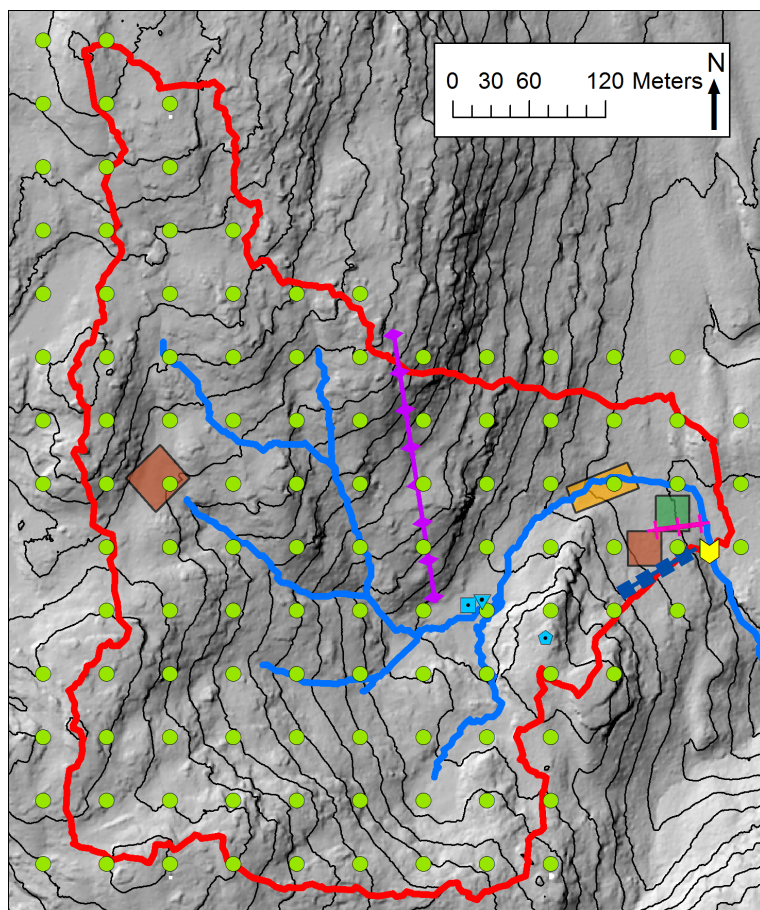
Figure 3. Catchment area and instrumentation at Aneboda

Red line= catchment water divide
 Blue line=stream
 Light blue squares with black dot=bulk deposition and meteorology (outside the map)
 Orange area or line with circles=litterfall,
 Purple area or line with diamonds=throughfall
 Dark green area= soil sampling plot
 Brown area=vegetation plot
 Blue squares or line with squares=groundwater sampling
 Pink cross or line with cross=soil water sampling
 Green rings = circular plots for monitoring tree layer, needle chemistry, algae and lichen cover on needles
 Yellow arrow= hydrology and water chemistry in catchment outlet.
 Contours at 2 m intervals. Map prepared by Ola Langvall and Ivan Clegg, SLU

6.3 Kindla - SE-15

IM-området i Kindla (Figur 4) är ett 0,2 km² avrinningsområde i centrala Bergslagen. Regionen karakteriseras av småkullig terräng med större höjder. Barrskog med inslag av sumpskog dominar. Det finns även en liten öppen myr inom IM-området. Topografin är kuperad med branta sluttningar med höjdskillnader på uppåt 100 m inom avstånd av endast 200 m. Skogen domineras av gran som vuxit utan skogliga åtgärder i över 100 år. Många kolbottnar och tjärdalar i området visar att skogen under tidigare sekler nyttjats till trädolframställning har därmed varit mer eller mindre avverkat i omgångar. Kindla etablerades som IM-område 1996.

Läge:	Bergslagen, Västmanland, Örebro län
Lat./Long:	N 59° 45' ; E 14° 54'
SWEREF99 TM:	N 6623934; E 495022
Kartblad:	Filipstad 11E NV
Area:	20,4 ha
Altitud:	312-415 m.o.h.
Lutning (grader/procent)	13°/23%
Berggrund:	Filipstadsgraniter
Årsmedeltemperatur:	+ 4,2 °C
Nederbörd:	900 mm
Avdunstning:	450 mm
Avrinning:	450 mm



Figur 4. Avrinningsområde och instrumentering i Kindla

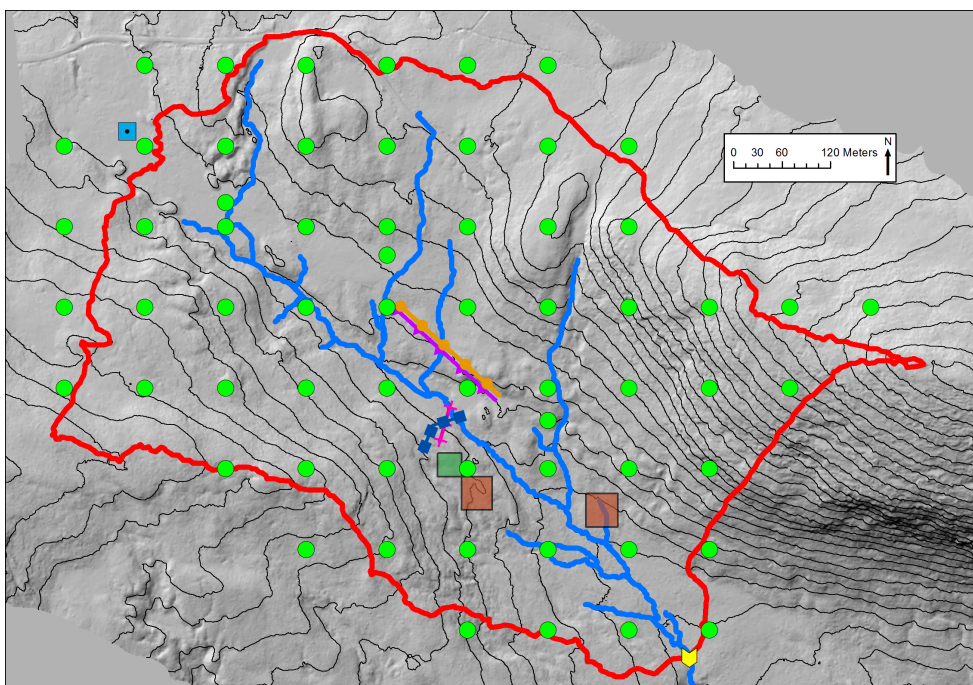
Figure 4. Catchment area and instrumentation at Kindla

Red line= catchment water divide
 Blue line=stream
 Light blue squares with black dot=bulk deposition and meteorology
 Orange area or line with circles=litterfall,
 Purple area or line with diamonds=throughfall
 Dark green area= soil sampling plot
 Brown area=vegetation plot
 Blue squares or line with squares=groundwater sampling
 Pink cross or line with cross=soil water sampling
 Green rings = circular plots for monitoring tree layer, needle chemistry, algae and lichen cover on needles
 Yellow arrow= hydrology and water chemistry in catchment outlet.
 Contours at 5 m intervals. Map prepared by Ola Langvall and Ivan Clegg, SLU

6.4 Gammtratten – SE 16

IM-området i Gammtratten (Figur 5) är ett 0,4 km² stort avrinningsområde 10 mil från N Kvarken-kusten i höjd med Umeå. Det ligger inom den mellanboreala zonen och landskapet karakteriseras som Norrlands vågiga bergkulleterräng. Området är en mot sydost sluttande dalsänka mellan bergen Gammtratten (578 m) i öster och Siberget (530 m) i väster. I sluttningarnas nedre del och i bottnen av sänkan finns flera mindre, mestadels trädbevuxna myrar. Nedre delen av sänkan domineras helt av gran, medan tallen är riklig i sluttningarnas övre delar. Glasbjörk förekommer nästan överallt, asp och sälg här och var. Skogen är till mindre omfattning påverkad av skogsbruksåtgärder. Omkring 1900 fälldes ett antal större tallar, s.k. dimensionsavverkning, i de centrala delarna, särskilt sydväst om bäcken. Omkring 1990 låggallrades 6 hektar i avrinningsområdets nedre, sydvästra del, varav knappt 1 ha slutavverkades och planterades med gran. Låggallring innebär att mindre träd avverkas. På grund av tidigare bränder, som dödat granen, finns tämligen rikligt med äldre tallar – den äldsta borrade från mitten av 1500-talet – medan granarna som regel är 100-150 år. Det finns rikligt med spår efter bränder från 1890-talet och bakåt i tiden.

Läge:	Norra Ångermanland, Västernorrlands län
Lat./Long:	N 63°51', E 18°06'
SWEREF99 TM:	N 7084548, E 653124
Kartblad:	20 I NV Björna
Area:	45 ha
Altitud:	410-545 m.ö.h.
Lutning (grader/procent)	12°/21 %
Berggrund:	Rätangranit eller liknande
Årsmedeltemperatur:	+1,2°C
Nederbörd:	750 mm
Avdunstning:	370 mm
Avrinning:	380 mm



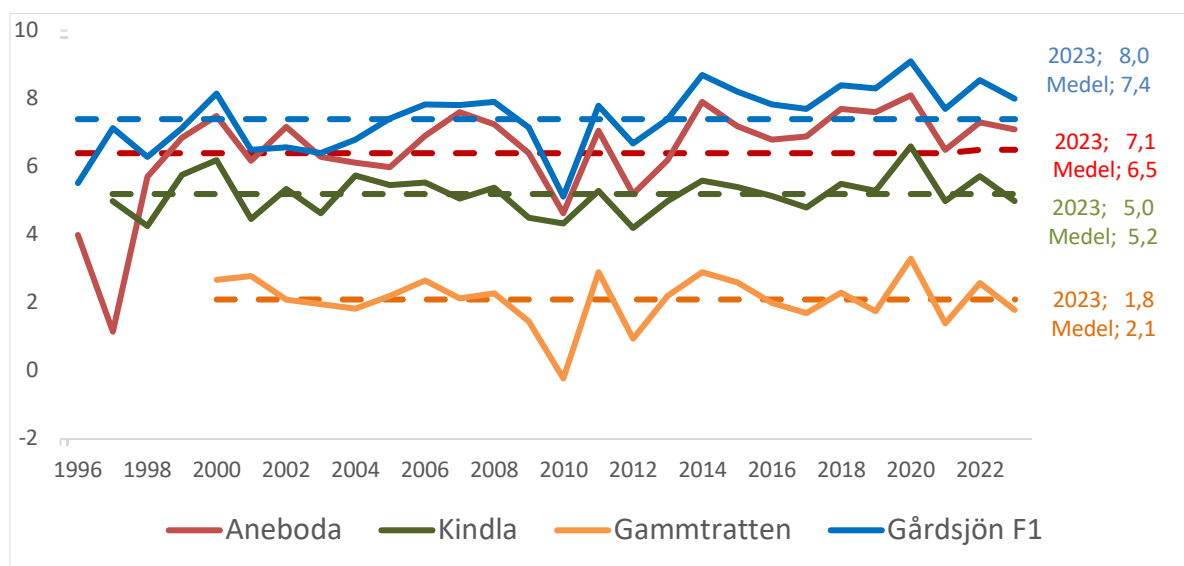
Figur 5. Avrinningsområde och instrumentering i Gammtratten (se Figur 4 för kartsymboler)
Figure 5. Catchment area and instrumentation at Gammtratten

7 Vädret; Temperatur- och nederbördssförhållanden 2023

7.1 Temperatur, nederbörd, grundvattennivå och avrinning

Under 2023 var årsmedeltemperaturen högre ($0,7\text{--}1,2^{\circ}\text{C}$) än långtidsmedelvärdet (SMHI 1961-1990) för alla IM-områden. För tre områden var överskottet likartat medan Gammtratten visade störst överskott. Den nya referensperioden 1991-2020 visar mellan $0,9^{\circ}\text{C}$ och $1,3^{\circ}\text{C}$ högre temperatur än perioden 1961-1990. Det innebär mellan $0,1^{\circ}\text{C}$ och $0,3^{\circ}\text{C}$ lägre medeltemperatur för de fyra IM-områdena med Aneboda och Kindla med högst avvikelse (Appendix 19). Vid jämförelser med referensperioderna har samma SMHI-station använts för båda perioderna, för respektive IM-område. Detta trots att SMHI-stationerna inte varit aktiva hela perioderna. För att erhålla en hel 30-årsperiod har SMHI låtit beräkna saknade data.

Jämfört med IM-mätseriernas långtidsmedelvärdet från 1996/97 (Gammtratten från år 2000) till 2023 visade Gårdsjön och Aneboda $0,6^{\circ}\text{C}$ högre årsmedeltemperatur medan Kindla och Gammtratten hade $0,2\text{--}0,3^{\circ}\text{C}$ lägre temperatur än långtidsmedelvärdet 1996 (Gammtratten 2000)-2023. Under 2023 var temperaturen vid alla IM-områden högre än medelvärdet, vilket också var klart högre än 2021. Att årsmedeltemperaturerna i IM-områdena varierar påtagligt ($2\text{--}4^{\circ}\text{C}$), särskilt de sista 13 åren är tydligt. Störst var variationen i de sydliga områdena Gårdsjön och Aneboda (Fig 6).

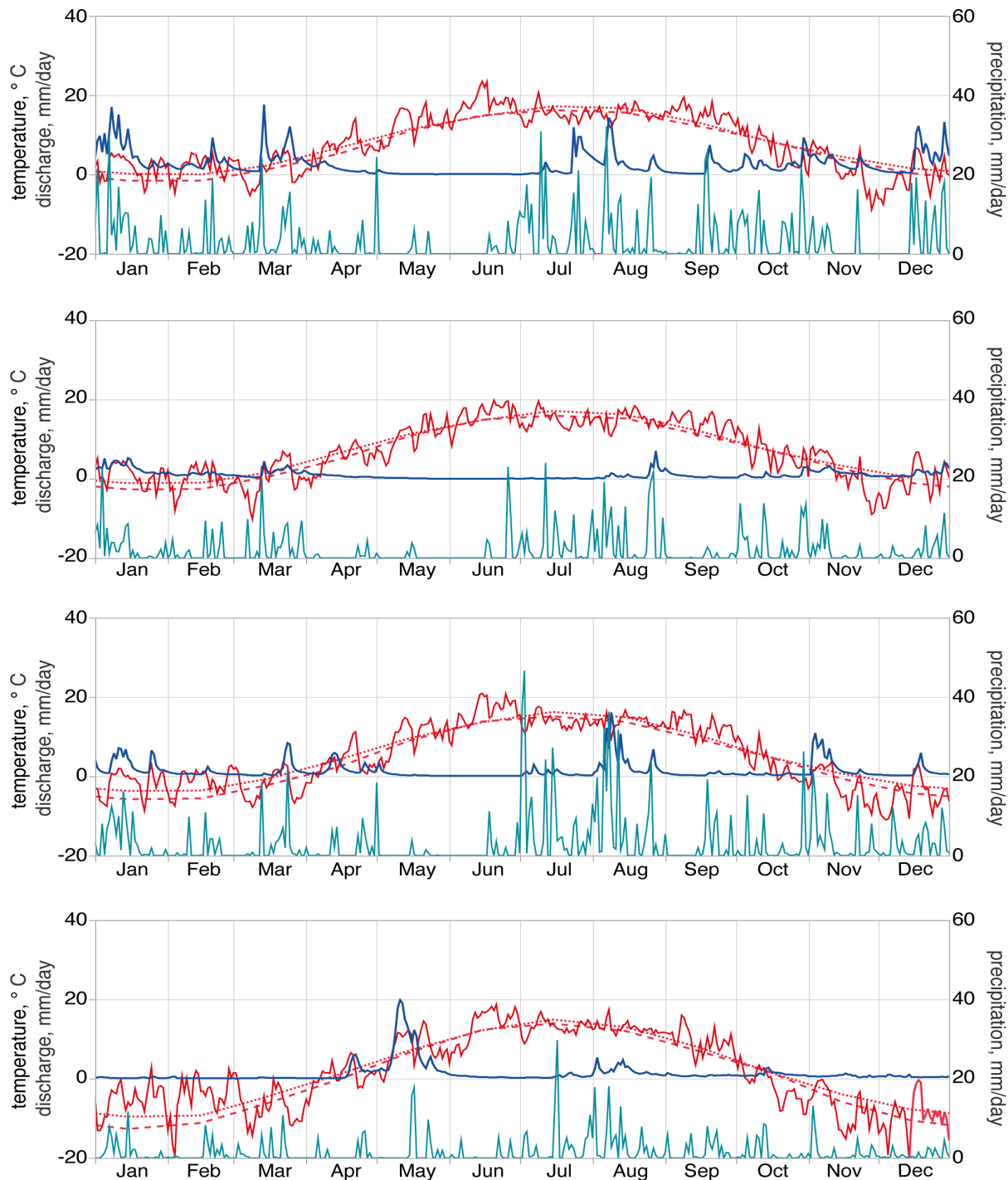


Figur 6. Årsmedeltemperatur vid de fyra IM-områdena Aneboda, Kindla, Gammtratten och Gårdsjön under åren 1996 till 2023 med medelvärdet för perioden inlagd som streckad linje.

Annual mean temperatures at the four IM sites Aneboda, Kindla, Gammtratten and Gårdsjön during the period 1996-2023. Broken lines represent average temperatures for the investigation period.

Temperaturen under 2023 var vid samtliga fyra stationer högre jämfört med SMHI:s normaltemperaturer för 1961-1990 och 1991-2020, undantaget mars. Andra halvåret hade överlag lägre temperaturer, undantaget september. Under den senare referensperioden 1991-2020 var det större skillnader andra halvåret jämfört med den tidigare referensperioden. Alla områden visade högre månadstemperatur för januari-februari vilket även noterades 2022 och 2021. Kindla och Gammtratten visade minusgrader januari-mars och november-december, vid Gammtratten även oktober. De två andra områdena hade i huvudsak månadsmedeltemperaturer över noll (Appendix 19). Årsmedeltemperaturen var i huvudsak över långtidsmedelvärdet

1996-2023 efter 2005 vilket avsevärt skiljde sig från åren 2010 och 2012 då årstemperaturen var klart lägre än årsmedeltemperatur (Figur 6).



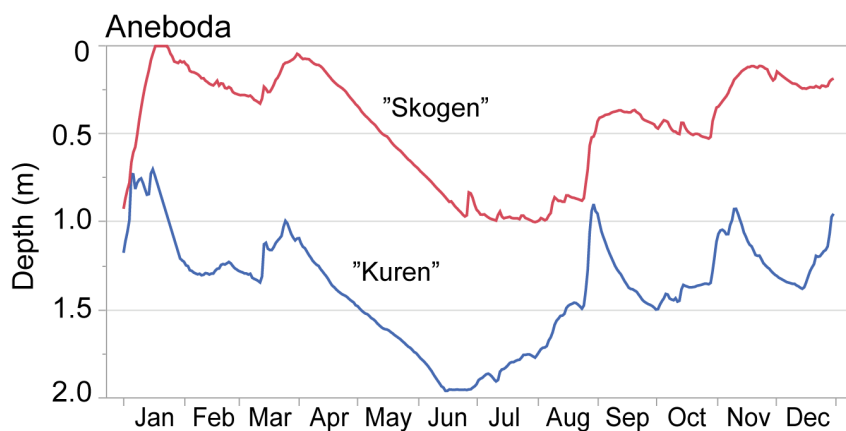
Figur 7. Dugnvärden (mm/dag) på nederbörd (turkos linje), avrinning (blå linje) och temperatur (röd linje) under 2023. Streckad röd linje är medeltemperaturen (1961-1990) från referensstationerna Säve (Gårdsjön), Växjö (Aneboda), Kloten (Kindla) och Fredrika (Gammtratten). Prickad röd linje är medeltemperaturen (1991-2020) från referensstationerna Säve (Gårdsjön), Växjö (Aneboda), Kloten (Kindla) och Fredrika (Gammtratten). Daily values (mm/day) on precipitation (turquoise line), discharge (blue line) and temperature (red line) during 2023. Broken red line shows long-term average (1961-1990) from the reference stations Säve (Gårdsjön), Växjö (Aneboda), Kloten (Kindla) and Fredrika (Gammtratten). Dotted red line shows long-term average (1991-2020) from the reference stations Säve (Gårdsjön), Växjö (Aneboda), Kloten (Kindla) and Fredrika (Gammtratten).

Nederbörd 2023 visade nära normalvärden (1961-1990) för Gårdsjön och Aneboda (avvikelse var 0-2%; jämfört med SMHI 1991-2020 var avvikelsen större med för Gårdsjön +20% och för Aneboda +9%) medan Kindla hade högre nederbörd (19% och 25%) och Gammtratten lägre (21% och 26%) jämfört med de två referensperioderna. Åren 2019-2021 var nederbördens högre än normalt för tre områden medan Gammtratten 2019 och 2020 hade lägre nederbörd. För 2022 var nederbördens lägre för alla områden.

Fördelningen under året 2023 visade lägre nederbörd i april till juni och november undantaget Kindla i november med något högre nederbörd. Störst avvikelse från normalvärden visade Gammtratten som i huvudsak hade lägre nederbörd för flertalet månader (Appendix 19).

Grundvattennivåerna i Aneboda Kuren och Skogen visade i huvudsak likartat mönster under 2023 med relativt höga nivåer januari-februari med högsta nivån i slutet av februari – början av mars. Nivåerna är mer markytenära vid den centralt i avrinningsområdet belägna Skogen medan Kuren nära utloppet från avrinningsområdet hade nivåer ca en meter djupare. Lokaltopografiska förhållanden bidrar till skillnader med Skogen i ett läge i nederdelen av en sluttning medan Kuren finns högre upp i en mindre lokal sluttning vid utloppet från avrinningsområdet. Nivåerna höjdes första halvan av januari, därefter med en recession till 0,3 m vid Skogen och 1,3 m vid Kuren i början av mars. En mindre nivåhöjning noterades till slutet av mars med nivån i Skogen markytenära och vid Kuren på en meters djup. En längre recession földe till slutet av juni då nivån vid Kuren var nära 2 m under markytan och Skogens nivå nådde nära 1 m djup vilket varade till slutet av augusti. Nivån vid Kuren höjdes då succesivt till 1,5 m. En kraftig nederbörd om nära 60 mm höjde då nivån till 0,4 m för Skogen och 0,9 m vid Kuren. Nivåändringarna var lite lugnare resten av året med högre nivåer i mitten av november med Skogen på 0,1 m och vid Kuren strax över 1 m. Året avslutades med Skogens nivå på 0,2 m och Kuren strax över 1 m under markytan (Fig 8).

Det förefaller som att större tillförsel av vatten behövs för att höja nivån vid Skogen jämfört med Kurens läge. Orsaken till skillnaderna i korttidsvariationer kan vara att större markvattenhaltsdeficit förekommer i Skogens markytenära markskikt jämfört med mindre porutrymme mellan rådande vatteninnehåll och mättnad förekommer vid stationen Kurens djupare markskikt. Detta märks också i den senarelagda höjningen av grundvattennivån för Skogen på hösten. Kurens läge har också tillrinning av grundvattnet från hela avrinningsområdet medan tillrinningen vid Skogen är mer begränsad.



Figur 8. Aneboda. Grundvattennivåer 2023 (m under markytan) för IM-området Aneboda. I Anebodaområdet finns två stationer med en nära utloppet från området kallad "Kuren" och en mer centralt högre upp i området och kallad "Skogen".

Groundwater levels 2023 (m below ground surface) at the IM-site Aneboda. In site Aneboda, there are two localities; one close to outlet from the catchment designated "Kuren" and one in a more central position called "Skogen".

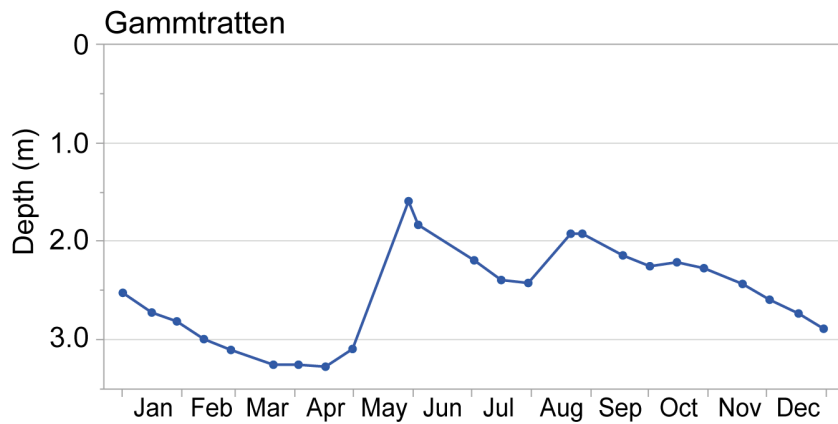
Grundvattennivåerna i Kindla var ytligare och med större variation under hela året jämfört med Aneboda. Nivån fluktuerar frekvent, vilket visar på moränens relativt lägre markvattendeficit. Den övergripande bilden visar någorlunda likartat mönster för de tre senaste åren med hög nivå i början av januari men med avsänkning till 0,5 m i början av mars. För 2023 varierade nivån mellan 0,2 m och 0,35 m till början av maj då en längre recession vidtog och djupaste nivåerna nåddes på nära 1,0 m djup 25 juni. Omfattande regn med över 110 mm i början av juli höjde grundvattennivån till nära 0,2 m djup. Nivåvariationer följde med merdeles nivåer mellan 0,2 m och 0,5 m fram till årsslutet då nivån stannade vid ca 0,35 m (Fig 9).

Mönstret känns i stort igen från tidigare år men med vissa avvikelser. Nivåfluktuationerna orsakas av regntillfällen men också snabb grundvattenavrinning mellan dessa tillfällen.



Figur 9. Grundvattennivåer 2023 (m under markytan) för IM-området Kindla.
Groundwater levels 2023 (m below ground surface) at the IM-site Kindla

Grundvattennivåerna i Gammtratten 2023 följde den traditionella bilden för nordliga områden med allt djupare nivåer så länge vintern håller i sig. Nivåerna inledande månader 2023 var likartad åren tidigare. För år 2023 var det i stort sett minusgrader till mitten av april då snösmältningen startade. Vårnivåtoppen på nära 1,5 m djup nåddes i andra halvan av maj då snösmältningen avslutats. En recession földe sedan till slutet av juli då nederbörd föll med 70 mm till inledningen av augusti. Detta höjde nivån till strax över 2 m i mitten av september varefter följde recession till slutet av året då nivån kom att ligga på 3 m (Fig 10). Relativt hög nederbörd juni till september gjorde att grundvattennivån 2022 inte avsänktes som vanligt för tidigare år. Detta avvek från 2021 då recession nådde allt lägre nivåer, som slutade på 2,9 m. Året innan 2020 var nivån 2,5 m och 2019 nåddes nivåer på 2,8 m. I oktober 2021 höjdes nivån något till ca 1,5 m för att sedan nå djupare nivåer i takt med att nederbörden lagrades som snö på markytan och slutade på dryga 2 m vid årsslutet medan djupare nivåer nåddes både 2018 och 2019.



Figur 10. Grundvattennivåer 2023 (m under markytan) för de IM-området Gammtratten. För Gammtratten finns endast manuella mätningar ungefär två gånger per månad.

Groundwater levels 2023 (m below ground surface) at the IM-site Gammtratten. For this site only biweekly manual measurements exist.

8 Vattenbalans 2023

Den övergripande bilden för svenska förhållanden är 50/50 evapotranspiration (E) och avrinning (R). Den bilden var nog gällande för 2022 med Kindlaområdet avvikande genom 70/30 förhållanden. Avrinningen då var ovanligt låg med 228 mm medan evapotranspirationen var väl hög. För 2023 noteras tämligen rimliga förhållanden med likvärdigt R och E. Kindla hade även relativt högt krondropp (TF), kanske beroende på reducerad krontäckning. Aneboda visade förhållandetvis högt E och något lägre R men är rimligt för landets sydöstra region. Möjlig har även fält- och buskvegetationen inverkan. Med relativt begränsad krontäckning efter storm och insektsangrepp blir TF relativt högt. Kindla med 50/50 och ca 500 mm för båda variablerna förefaller helt rimligt även om skogen är reducerad med ökande andel döda träd och borde då kanske följas av relativt lågt E. Även Kindla visade tämligen högt TF. För Gammtratten dominerade R över E vilket är tämligen vanligt för nordliga områden med lite kallare klimat. Även här var TF högt, kanske främst beroende på ganska gles skog. Gårdsjön avvek mest från lika förhållanden med hög andel R och ganska lågt E med endast 27%. TF var högt med 79% av nederbördens. Möjlig återspeglar detta ett reducerat skogstillstånd. Liknande relativt hög avrinning har förekommit även tidigare år även om 2022 visar rimligare E.

Gårdsjöns vattenbalans för 2023 visar åter hög avrinning med 73% av nederbördens (Tabell 2). Detta har varit vanligt för flera tidigare år men inte 2022 och 2020 med fördelningen 45/55 respektive 41/59 avdunstning/avrinning. Krondroppet vid Gårdsjön 2023 var 79% av nederbördens vilket är i likhet med några tidigare år med 80% 2020 och 84% 2021. Avrinningsmönstret 2023 visade höga värden i januari, mars och juli-augusti medan året avslutades likartat med medelförhållanden för hela mätperioden. Månaderna maj-juni hade låg avrinning (Fig 11).

Avrinningsregimen vid **Aneboda** 2023 var likartad den vid Gårdsjön med lägre värden än medelförhållanden för maj-juli. Januari var avvikande även i Aneboda med hög avrinning. En årsavrinning på 363 mm är rimligt att jämföra med längtidsmedelvärde på 300 mm. Avsaknad av snömagasinering vintertid speglar ett varmare klimat med högre vintertemperaturer orsakande regn och viss mindre snösmältnings hela vinterperioden. Två mindre

avrinningstoppar noteras för augusti och november men hösten kan anses nära normal. Avdunstningen var rimlig med 489 mm (Tabell 2). Detta kan jämföras med 409 mm 2019 och med 477 mm 2017 och långtidsmedelvärdet på 470 mm. Lägst avdunstning noterades 2018 med 179 mm men baserad på mycket låg nederbörd med 397 mm. Krondroppet var högt med 75% av nederbörden.

Avrinning och evapotranspiration för **Kindla** var lika med 50% vardera. Inledningsvis var avrinningen hög i januari, troligen orsakad av snösmältning vid plusgrader i mitten av månaden. Det var normala årsvärden med något hög nederbörd med 1036 mm. En mindre vårflödestopp inträffade i april vilket är normalt medan några tidigare år haft toppen redan i mars. Avrinningsmönstret följe medelförhållanden tämligen väl fram till augusti då hög nederbörd med 480 mm för juli-augusti resulterade i en avrinningstopp för att i september-oktober följas av relativt låg avrinning. En ny topp fanns i november vid 109 mm nederbörd varefter avrinningen blev lägre än normalt i december (Fig 11). Under 2022, visade alla månader lägre avrinning än långtidsmedelvärdet och nådde endast knappt 50% av ett normalvärde.

För Kindla 2023 noteras även ett något högt krondropp med 65% av nederbörden och interceptionen nådde 35% att jämföra med 23% 2022. (Tabell 2 och Fig 11).

Nederbördens vid **Gammtratten** var 654 mm, vilket är lite lågt jämfört med ett långtidsmedelvärde på ca 750 mm. Krondroppet var 536 mm, 82% av nederbörden vilket kan verka lite högt men var 79% 2022 och kan bero på en relativt gles skog. Avrinningen blev 446 mm, 68% av nederbörden och lämnande 207 mm i evapotranspiration (Tabell 2 och Fig 11). Fördelningen med större andel avrinning jämfört med evapotranspiration kan vara rimlig för det ganska nordliga geografiska läget med lägre temperaturer än i södra Sverige.

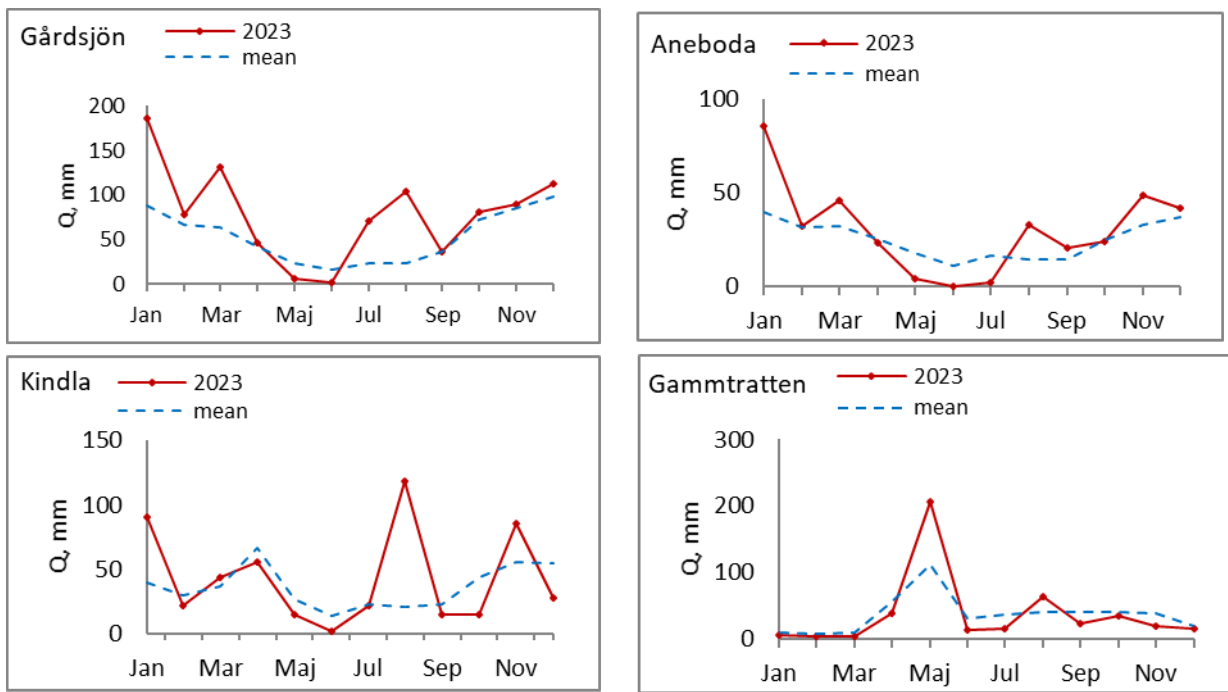
Vatteninnehållet i snön före snösmältning 2023 var 216 mm. Nederbördens under snösmältningsperioden var 53 mm och avrinningen skattas till 209 mm. Det lämnar 60 mm till avdunstning. Grundvattennivån steg från 3,3 m i april till 1,6 mm i maj, dvs ökning i magasin kan vara 85 mm vid antaget 5 vol-% markvattenhaltsdeficit före nivåhöjning och skulle då ge negativ avdunstning, vilket knappast är troligt. Deficitet bör därför vara mindre eller skattningen av avrinning kan vara lägre. Tidigare år var vatteninnehållet i snömagasinet 167 mm 2022, 252 mm i mitten av april 2021 att jämföra med 234 mm i början av april 2020.

Tabell 2. Sammanfattning av 2023 års vattenbalanser i IM-områdena. Kronavdunstning = Nederbörd – krondropp.

Compilation of the 2023 water balances for the four Swedish IM sites. Nederbörd, P – Precipitation, Krondropp, TF – Throughfall, Kronavdunstning - Interception, Avrinning, R – Water runoff

	Gårdsjön SE04		Aneboda SE14		Kindla SE15		Gammtratten SE16	
	mm	% av nbd	mm	% av nbd	mm	% av nbd	mm	% av nbd
Nederbörd ¹ , öppet fält, P	1290	100	852	100	1036	100	654	100
Krondropp ¹ , TF	1014	79	639	75	674	65	536	82

Kronavdunstning, P-TF	276	21	214	25	362	35	117	18
Avrinning, R	944	73	363	43	514	50	446	68
Nederbörd – avrinning, P-R	345	27	489	57	522	50	207	32



Figur 11. Avrinningsmönstren på månadsbasis vid IM områdena 2023 jämfört med månadsmedelvärden för perioden 1996/1997-2023.

Monthly runoff patterns 2023 at the IM sites compared with the long-term monthly averages for the period 1996/97-2023. (Obs! Different scales for Y-axes)

9 Modellerad vattenbalans 1997-2023

9.1 Hela perioden 1997-2023

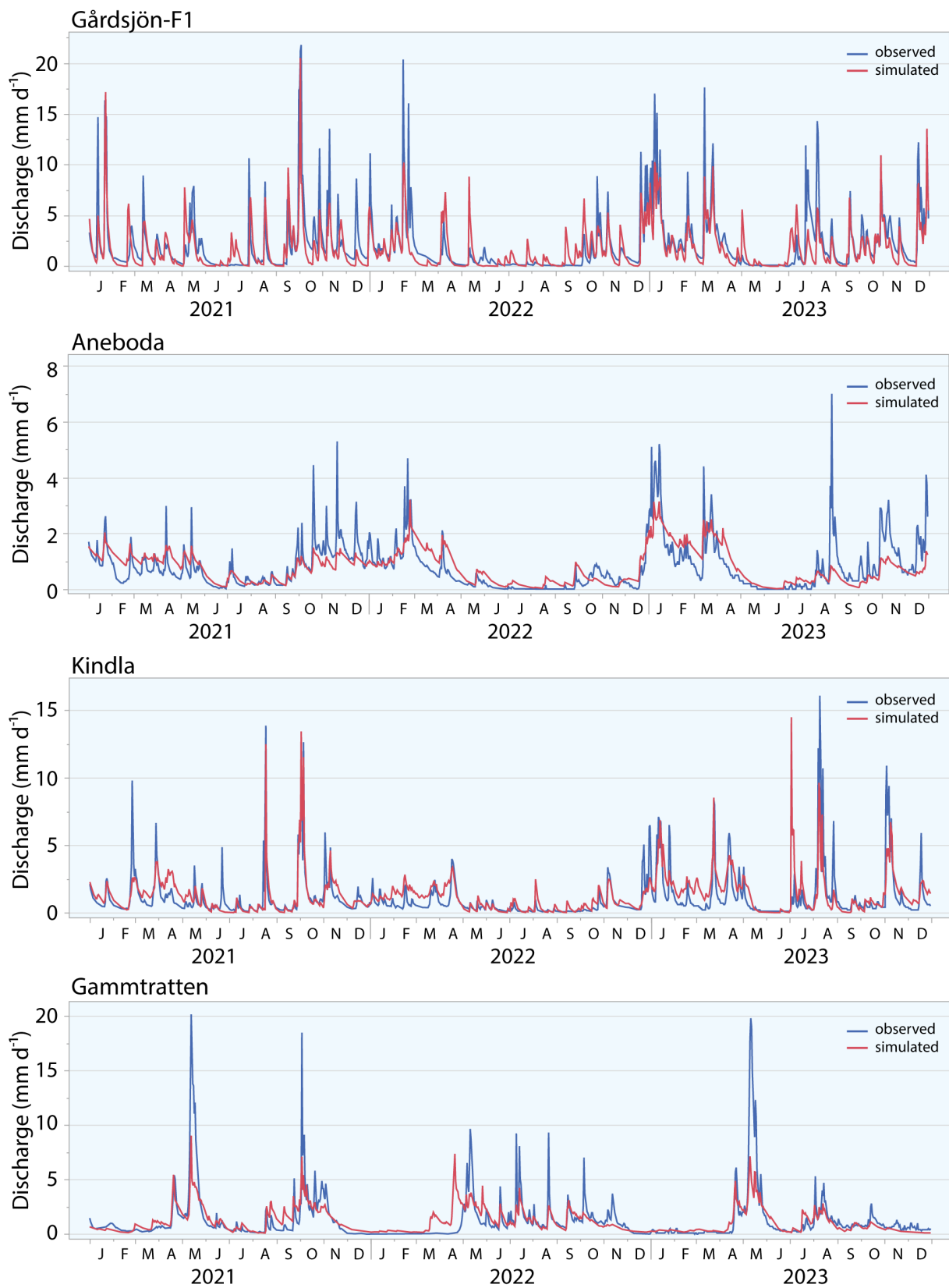
För att få en uppfattning av osäkerheten i beräkningarna av vattenbalansen har den även modellerats på dygnsbasis med hjälp av en simuleringsmodell (Q-modellen, Kvarnäs 2000, från 1997, och sedan 2018 används FyrisQ-modellen). Uppmätt och FyrisQ -simulerad daglig avrinning (mm d^{-1}) under åren 2020-2023 visar likartad bild men vissa avvikelser märks (Fig 12). Dygnsdata på nederbörd och temperatur driver modellen.

Osäkerheten i nederbördssdata har vid modellberäkningarna avgörande betydelse för avdunstningen eftersom modellen kalibreras mot avrinningen och avdunstningen blir något av en ”restterm”. Simulerade årsvisa vattenbalanser under perioden 1997-2023 har gett relativt god överensstämmelse mellan beräknad och observerad avrinning (Tabell 2 och 3). Det finns orsaker till att resultaten avviker mellan uppmätta och simulerade värden och nederbördskattning har stor betydelse men även modellens temperaturberoende och lagring av vatten bidrar. Svårigheter att mäta nederbörd, särskilt vintertid gör att skattningar till delar

bygger på närlägna SMHI stationer. För Gammtratten drivs modellerna tidvis med nederbörsdata från SMHI-stationen Fredrika med omräkning och anpassning för IM-stationen. Fredrika ligger på lägre altitud än Gammtratten och IM-stationens läge är ca 27 km SV Fredrika. Motsvarande osäkerhet finns även för Kindla sedan den närlägna meteorologiska stationen i Nyberget avslutats och nu används nederbörsdata från Kloten, som ligger 40 km från Kindlaområdet. Även för Aneboda är resultaten påverkade av att skattningarna av nederbörd delvis är baserade på data från SMHI:s mätningar i Berg, som dock ligger relativt nära IM-området. För 2023 har Gårdsjödata delvis hämtats från SMHI-stationen Rörastrand, ca 20 km V Gårdsjön.

9.2 År 2023

Variationerna i avrinning på dygnsbasis visar i stort relativt bra överensstämmelse. Låga flöden liksom höga vattenföringar är mestadels samtidiga. Däremot avviker magnituden ofta en del. Med primärt fokus på år 2023, som föreliggande rapport i huvudsak är inriktad på, kommenteras här skillnader i avrinning mellan uppmätta och modellerade värden. Mönstret är till delar lite olika för de fyra IM-områdena. Samvariation i tid är relativt bra men ofta når modellerade värden vid höga flöden inte lika högt som uppmätta. Detta kan bero på att osäkerhet avseende temperatur kan finnas. Ofta märks att recessionen efter högvattenflöden inte är lika snabb för modellen utan har ett lite mer utdraget förlopp än vad uppmätta värden visar. De kortvariga och snabba flödena i områdena fångas inte helt. Detta har att göra med att lagringen av vatten i snö och mark inte efterliknas fullt ut. Detta märks särskilt vintertid. Under barmarksperioden, de varma månaderna, noteras ofta fler och högre modellerade flödestoppar vilket kan hämföras till överskattnings av nederbördens bidrag till avrinningen utan rätt beaktande av lagring som markvatten och där till avgång av vatten som avdunstning. Detta är påtagligt för Aneboda och Gårdsjön. Mindre uppenbart för Kindla och Gammtratten där modellen i stället ger mer snösmältning än vad uppmätta flöden visar. För Gammtratten ger modellen en lägre vårflödestopp jämfört med uppmätt vattennivå och beräknad vattenföring. Modellen kanske inte riktigt beaktar snösmältningsförloppet helt och hållet innan ytvattenflöde genereras. Det är ju bekant att vattenhalten ökar i lagrad snö under inledande smältningsförlopp. Vidare för detta område är att modellens senhöstflöden är underskattade, möjligen orsakade av underskattad nederbörd i början av oktober, och snösmältning i mitten av november, samt misstolkning av temperaturförhållandena.



Figur 12. Modellerad (röd linje) och observerad (blå linje) avrinning från IM-områdena Gårdsjön, Aneboda, Kindla och Gammtratten 2021-2023.

Simulated (red line) and observed (blue line) runoff at the IM sites Gårdsjön, Aneboda, Kindla and Gammtratten in 2021-2023.

Tabell 3. Modellberäknade vattenbalanser (mm) för IM-områdena 1997-2023.

Station	År	Nederbörd ¹⁾	Avdunstning ²⁾	Avrinning ³⁾	Markvatten ⁴⁾	Snö ⁵⁾
Gårdsjön	1997	1015	513	483	16	-2
Gårdsjön	1998	1222	526	704	1	-3
Gårdsjön	1999	1385	548	833	4	2
Gårdsjön	2000	1319	570	765	-12	-1
Gårdsjön	2001	954	548	408	-2	0
Gårdsjön	2002	1191	530	619	-1	32
Gårdsjön	2003	986	486	514	-37	27
Gårdsjön	2004	1132	513	613	6	5
Gårdsjön	2005	1039	578	492	-20	-3
Gårdsjön	2006	1075	392	672	-4	0
Gårdsjön	2007	1330	598	706	30	8
Gårdsjön	2008	1345	540	841	-29	-7
Gårdsjön	2009	1141	579	513	-8	57
Gårdsjön	2010	990	511	497	5	-24
Gårdsjön	2011	1248	618	652	16	-34
Gårdsjön	2012	1232	636	693	27	15
Gårdsjön	2013	900	376	577	-25	-12
Gårdsjön	2014	1283	436	866	-9	2
Gårdsjön	2015	1365	520	855	-9	2
Gårdsjön	2016	949	408	558	7	-4
Gårdsjön	2017	1145	482	663	9	11
Gårdsjön	2018	817	384	467	-25	-8
Gårdsjön	2019	1145	454	707	0	0
Gårdsjön	2020	1252	506	732	16	11
Gårdsjön	2021	1020	483	563	1	-10
Gårdsjön	2022	847	388	471	-4	-3
Gårdsjön	2023	1180	471	706	4	5
	Medel	1130	503	636		
Aneboda	1997	675	408	261	20	-22
Aneboda	1998	873	460	401	11	3
Aneboda	1999	821	461	347	-2	16
Aneboda	2000	927	533	383	18	-5
Aneboda	2001	748	471	322	-62	13
Aneboda	2002	859	461	421	6	-30
Aneboda	2003	834	507	308	20	0
Aneboda	2004	1013	523	489	5	-2
Aneboda	2005	734	448	309	-28	6
Aneboda	2006	811	477	310	-24	-9
Aneboda	2007	692	421	278	-6	1
Aneboda	2008	902	503	390	9	0
Aneboda	2009	680	455	246	-25	5
Aneboda	2010	872	455	359	9	50
Aneboda	2011	700	480	259	17	-56
Aneboda	2012	925	491	412	-22	27
Aneboda	2013	560	353	240	-2	-19
Aneboda	2014	710	428	300	-6	4
Aneboda	2015	720	409	319	1	2
Aneboda	2016	584	305	301	-1	-5
Aneboda	2017	930	443	411	71	18

Aneboda	2018	479	265	314	-81	-17
Aneboda	2019	974	528	425	42	-3
Aneboda	2020	1079	601	506	-21	8
Aneboda	2021	811	523	326	-21	-5
Aneboda	2022	681	428	233	27	0
Aneboda	2023	755	466	311	-19	2
	Medel	791	456	340		

Kindla	1997	850	409	350	2	88
Kindla	1998	857	414	508	27	-87
Kindla	1999	951	463	430	-10	70
Kindla	2000	1219	501	767	-9	-46
Kindla	2001	788	412	407	-3	-34
Kindla	2002	840	409	392	-1	39
Kindla	2003	827	453	400	35	-58
Kindla	2004	890	458	446	-14	1
Kindla	2005	907	463	399	-14	55
Kindla	2006	1046	486	618	3	-67
Kindla	2007	1018	499	510	11	0
Kindla	2008	1118	483	623	-6	9
Kindla	2009	773	365	375	-8	41
Kindla	2010	994	411	528	-1	53
Kindla	2011	677	474	305	15	-116
Kindla	2012	1008	466	468	-8	49
Kindla	2013	681	314	416	18	-67
Kindla	2014	935	349	621	-38	22
Kindla	2015	1028	456	613	-1	-20
Kindla	2016	835	317	515	11	2
Kindla	2017	957	441	475	2	51
Kindla	2018	674	313	407	-11	-29
Kindla	2019	906	399	496	18	3
Kindla	2020	858	341	541	0	-4
Kindla	2021	892	442	488	-17	-8
Kindla	2022	774	435	310	14	19
Kindla	2023	1135	521	588	-7	45
	Medel	905	426	481		

Gammtratten	1997	706	402	392	-4	-84
Gammtratten	1998	994	453	586	14	-67
Gammtratten	1999	979	456	520	-9	13
Gammtratten	2000	1397	515	906	18	-46
Gammtratten	2001	1135	454	593	-22	109
Gammtratten	2002	720	413	367	1	-61
Gammtratten	2003	990	474	518	4	-7
Gammtratten	2004	954	480	477	0	-3
Gammtratten	2005	1009	532	500	0	-26
Gammtratten	2006	1107	436	598	40	27
Gammtratten	2007	855	464	419	-27	-6
Gammtratten	2008	830	396	398	-16	50
Gammtratten	2009	1059	469	653	11	-73
Gammtratten	2010	890	474	434	-7	-11
Gammtratten	2011	941	492	402	1	46
Gammtratten	2012	1219	476	720	2	14

Gammtratten	2013	579	272	386	11	-82
Gammtratten	2014	599	269	346	3	-3
Gammtratten	2015	651	256	404	-11	17
Gammtratten	2016	577	308	279	2	-3
Gammtratten	2017	589	198	341	-5	64
Gammtratten	2018	416	167	342	-1	-79
Gammtratten	2019	590	165	360	5	76
Gammtratten	2020	696	193	546	-1	-31
Gammtratten	2021	595	177	477	-10	-31
Gammtratten	2022	643	240	427	2	-7
Gammtratten	2023	558	223	332	-3	20
Medel		825	365	471		

¹⁾ Beräknad på korrigerad dygnsnederbörd i Gårdsjön, Aneboda, Nyberget/Kloten respektive Fredrika

²⁾ Avdunstning enligt modellen

³⁾ Avrinning enligt modellen

⁴⁾ Markvattenhalt vid slutet av året minus markvattenhalt vid början av respektive år

⁵⁾ Snöns vattenekvivalent vid slutet av året minus vattenekvivalenten vid början av respektive år

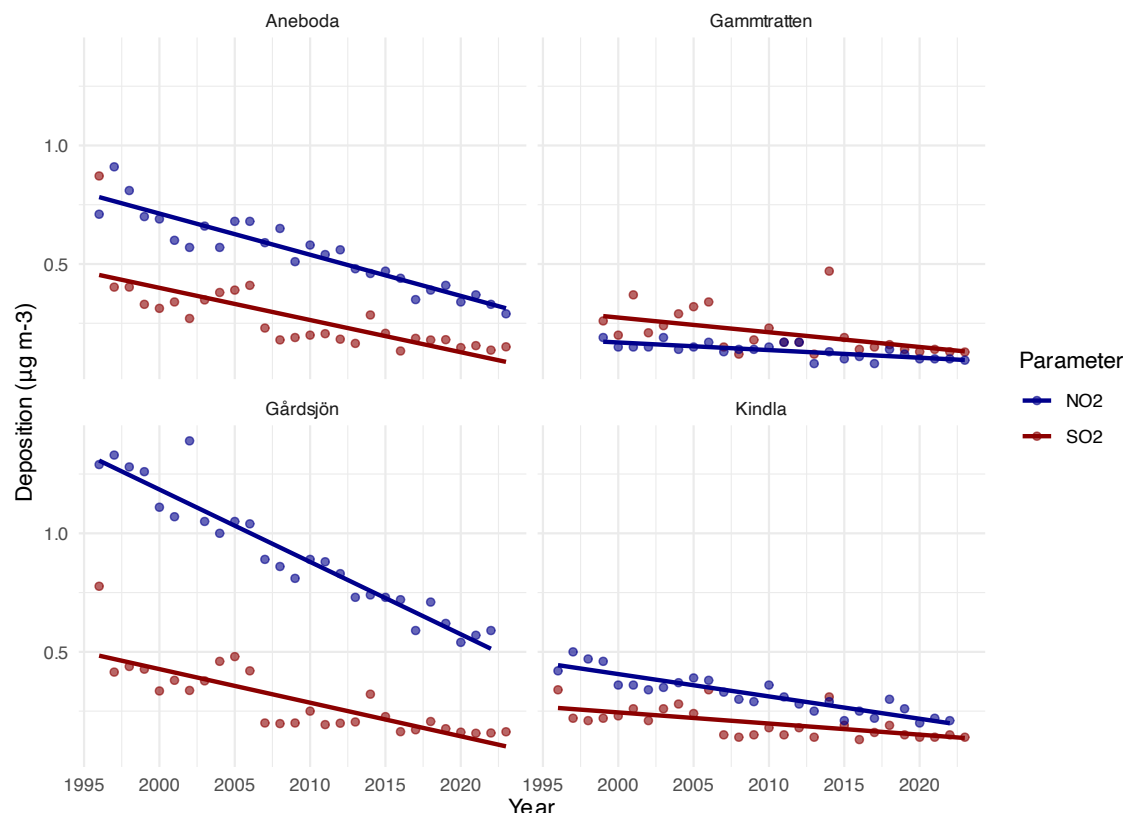
10 Kemiska förhållanden

Områdenas vatten i mark och bäck kan beskrivas som jonsvaga och sura med tämligen höga aluminiumhalter. Vattnen har låga halter av de oorganiska fraktionerna av näringssämnen kväve (ammonium och nitrat) och fosfor (appendix 3). Gammtratten är det minst sura området. Bäckvattnet har ett medel-pH runt 5,6 (appendix 2) och halter oorganiskt aluminium (Al inorg, appendix 8) som inte genomgående överskridar det intervall, 20–80 µg/l, som Lydersen och Löfgren (2002) angav som kritiskt för olika fiskarter. Högst koncentrationer löst Al i IM-områdena påträffas överlag i inströmningsområdenas E-horisonter. Här domineras emellertid joner i komplex med löst organiskt material (Al org, appendix 8). I övriga vatten utgör oorganiskt Al (Al inorg) ofta mer än hälften av Al tot.

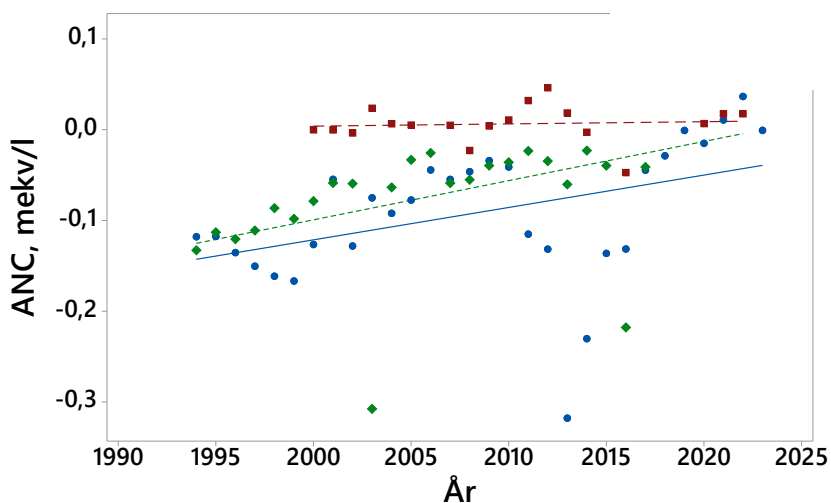
Sedan övervakningen påbörjades i de fyra områdena har koncentrationerna av svaveldioxid (Fig 13) och kväveoxider i luft (Fig 13) sjunkit till de nuvarande relativt låga nivåerna (appendix 1). Under samma tid har depositionen av i synnerhet svavel minskat påtagligt i Götaland och Svealand (Pihl Karlsson et al., 2024). I IM-områdena har ANC generellt stigit i markvatten från Aneboda, Gårdsjön och Kindla (Löfgren et al., 2011) men varit oförändrade i Gammtratten. Med exempel från B-horisonten i inströmningsområdena visar Fig 14 hur ANC ökat i de fall den är eller tidigare har varit negativ, d.v.s. präglad av försurande nedfall. ANC är här beräknad som laddningsskillnaden mellan baskatjoner och de starka syrornas korresponderande anjoner (ekvivalentkoncentrationerna $\text{Ca}^{2+} + \text{Mg}^{2+} + \text{K}^+ + \text{Na}^+ - \text{SO}_4^{2-} - \text{NO}_3^- - \text{Cl}^-$, mekv/l).

I markvattnet har koncentrationen SO_4^{2-} överlag varit sjunkande (Löfgren et al., 2011). I Gammtratten har minskningen eventuellt brutits av mera sentida fluktuationer i de generellt låga koncentrationer som råder här; i Aneboda förefaller koncentrationen överlag högre i B-horisonten än i O-horisonten, gissningsvis p.g.a. evapotranspiration och/eller sulfatdesorption (Fig 15).

Trends in SO₂ and NO₂ concentrations in air



Figur 13: Svavel och kvävedioxidhalterna i luft. Treder mellan år är signifikanta (Mann-Kendall test, $p < 0,05$).
SO₂ and NO₂ concentrations in air. Trends are significant (Mann-Kendall test, $p < 0.05$).

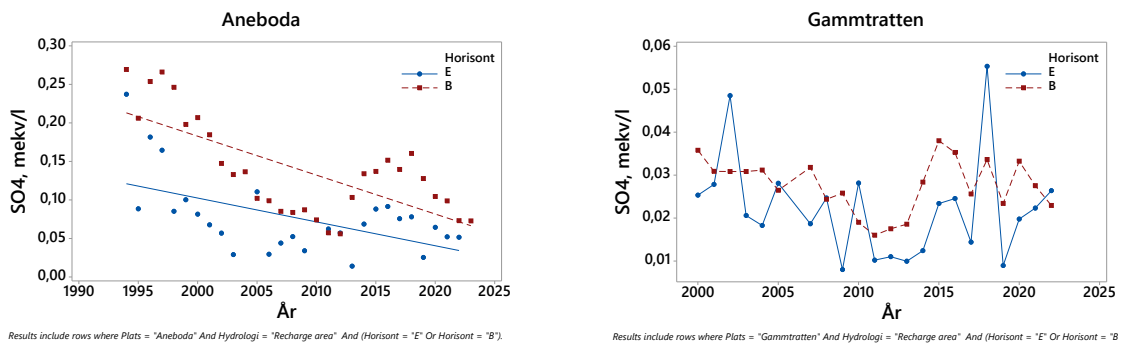


Results include rows where Hydrologi = "Recharge area" And 'Djup (cm)' = "10-20".

Figur 14: Utvecklingen i ANC över tid i lysimetervatten från B-horisonten i inströmningsområden i tre av IM-områdena. ANC ökade i Aneboda ($p = 0,02$) och Kindla ($p = 0,026$), men var i Gammtratten konstant med en högre initial nivå där än i övriga områden. *Development in ANC over time in lysimeter water from the B horizon*

at three of the IM sites. ANC increased at Aneboda ($p = 0.02$) and Kindla ($p = 0.026$) while in Gammtratten it remained steady with a higher initial values than the other sites.

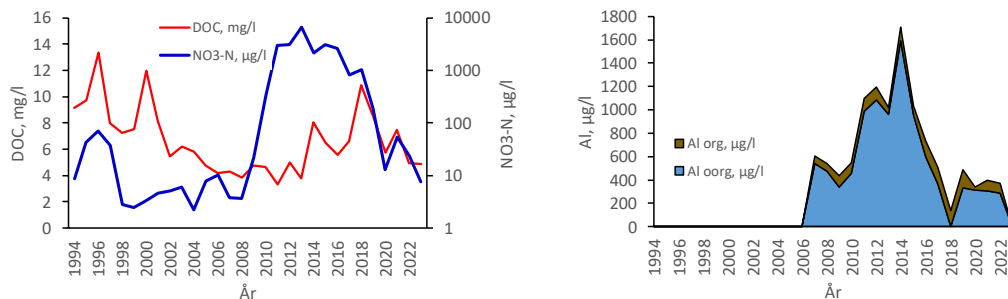
Nitrat i markvatten varierar kraftigt i tid och rum. I samtliga områden utom Gårdsjön är koncentrationen i genomsnitt lägre i markvattnet än i bulkdeposition och krondropp (appendix 4–7), och varierar med mineralisering, nitrifikation och vegetationens upptag. Efter de barkborreangrepp i Aneboda, som till 2011 ödelade det mesta av det vuxna granbeståndet, observerades ökade nitrathalter i en del av mark- och bäckvattnen, dock med koncentrationer som i marken varierade över flera tiopotenser mellan olika delar av området och mellan individuella lysimetrar (Löfgren et al., 2014). På årsmedelbasis i data för inströmningssområdet framstår nitrathalten här som drivvariabel bakom löst Al in org B-horisonten (Fig 15 a; korrelation över tid: $r = 0,7$, $p = 0,006$).



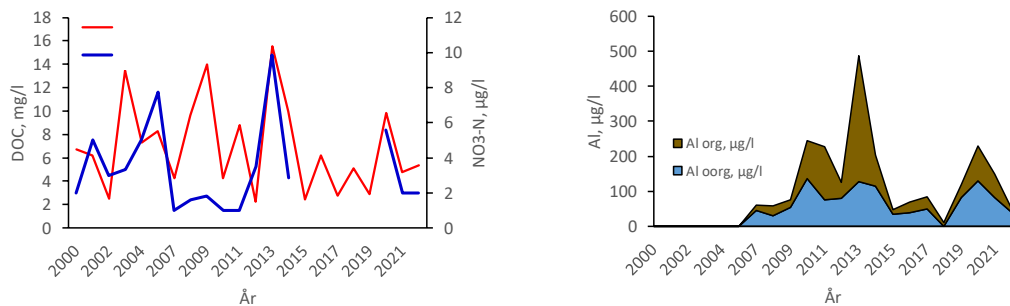
Figur 15. Sulfatkonzcentration över tid i lysimetervatten i inströmningssområdena i två av IM-områdena. Koncentrationen sjönk i både E- och B-horisonten i Aneboda ($p \leq 0,01$) men var oförändrat låg i Gammtratten. Sulphate concentrations over time in lysimeter water at two of the IM sites. Concentrations went down in both the E and B horizons at Aneboda ($p \leq 0,01$) but were unchanged in Gammtratten.

Nitrifikation har kapacitet att frigöra aluminium, men en noggrannare analys av enstaka provtagningspunkter skulle behövas för att klärlägga i vilken omfattning trenderna representerar IM-området i Aneboda som helhet.

a) Aneboda, inströmningssområde, B-horisont



b) Gammtratten, inströmningsområde, B-horisont



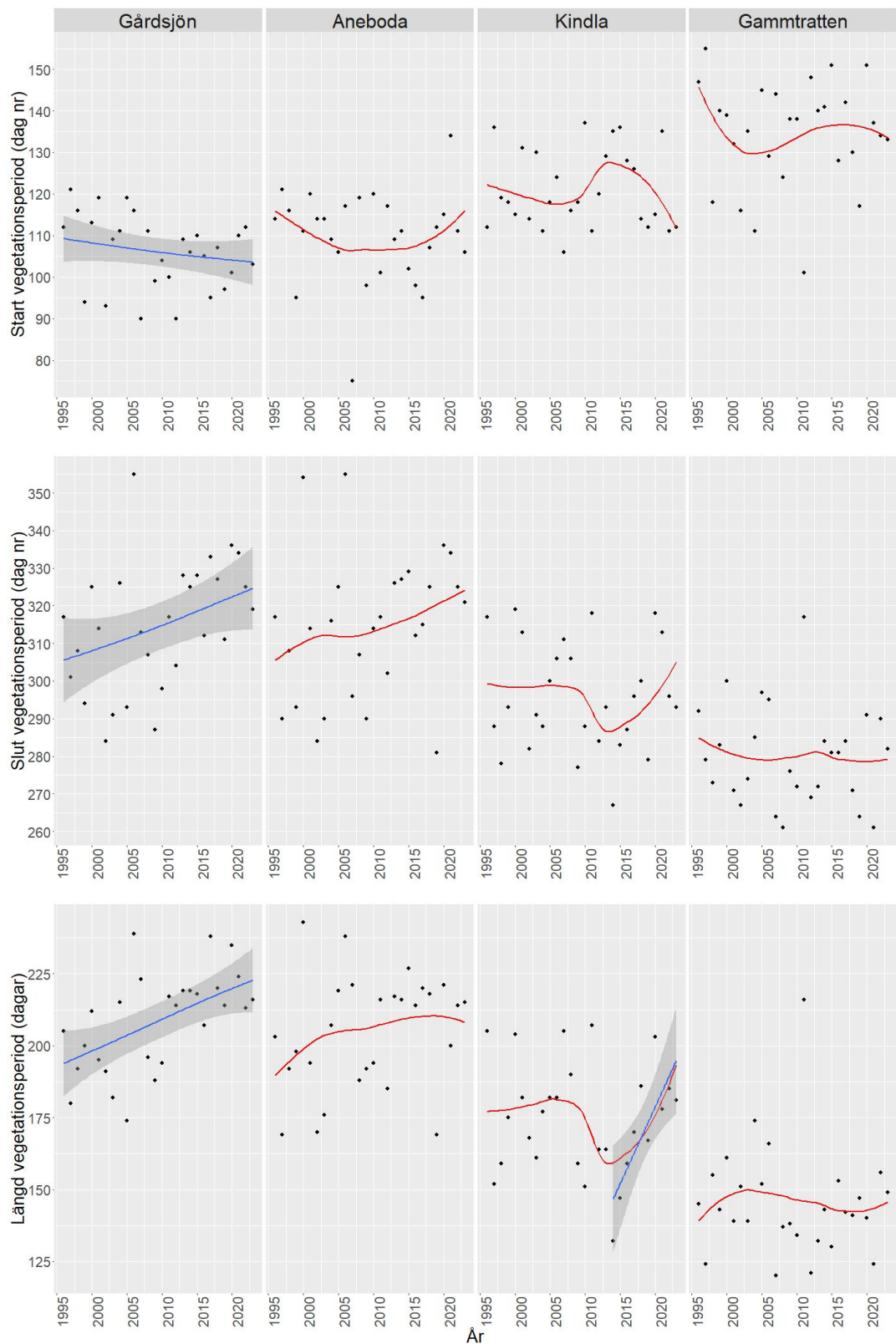
Figur 16. Löst organiskt kol (DOC) och nitrat (NO₃) samt organiskt (Al org) och oorganiskt (Al inorg) aluminium i B-horisonten i inströmningsområdet. Sistnämnda är areadiagram, där koncentrationen av Al-kategorierna är proportionell mot höjden hos respektive kurvmellanrum. a) Aneboda; aluminiumdata saknas 1994–2006. b) Gammtratten; Al-data saknas 2000–2005, nitratdata 2015 och 2017–2019. Observera den logaritmiska axeln för nitrat i (a), som gör det möjligt att visa variationerna både före och efter träddöden till följd av barkborreangreppen i Aneboda. *DOC and nitrate and organic and inorganic Al. The latter are area diagrams, where the concentration of the Al categories is proportional to the height of the respective curve gaps. Note the logarithmic axis for nitrate in (a), which makes it possible to show the variations both before and after the tree death resulting from the bark beetle attacks in Aneboda.*

Beträffande Al org finns positiva korrelationer med DOC ($r = 0,6, p = 0,025$ resp. $0,014$ för de data från Aneboda och Gammtratten som visas i Fig 15 a och b). Med begränsad tillgång till Al-specieringsdata från Aneboda, Gammtratten och Kindla drog Löfgren och Cory (2010) slutsatsen, att pH-höjningar sänkte koncentrationen av Al inorg, medan Al org var relativt okänsligt för pH-förändringar. Med de mätserier som nu finns skulle sambanden kunna klarläggas ytterligare.

11 Vegetationsperiodens längd

Vegetationsperiodens längd beräknat enligt "StdMeteo"-metoden (ETCCDI, 2009) visar en signifikant förändring (Regional Kendall test, $p < 0,05$) i Gårdsjön där vi ser ungefär en månads längre vegetationsperiod idag jämfört med när mätningarna startade 1996 (Fig 17). Förlängningen beror på både signifikant tidigare start och på senare slut på vegetationsperioden. För Kindla ser vi en stark trend de senaste 11 åren, och sett enbart till data från 2014 och framåt visar även Kindla en signifikant (Regional Kendall test, $p < 0,05$) ökande längd på vegetationsperioden med i genomsnitt 5,3 dagar per år.

Lite förenklat är vegetationsperioden enligt denna metod att räkna antal dagar under ett kalenderår med en medeltemperatur över $+4^\circ\text{C}$, och således ett meteorologiskt mått. Det är dock fler faktorer än temperatur som styr tillväxt i vegetationen, t.ex. ljus och dagslängd. Så, även om den meteorologiska vegetationsperioden blivit längre är det inte desamma som att den biologiska vegetationsperioden förlängts i samma utsträckning.



Figur 17. Vegetationsperiodens start, slut och längd vid IM-områdena från 1996 till 2023. Områdena ordnade efter fallande längd på vegetationsperioden. Icke-signifikanta tender mellan år är illustrerade med en "smoother" (röd linje), och signifikanta förändringar (Regional Kendall test, $p < 0,05$) med en regressionslinje (blå). För Kindla har även en separat analys gjorts för åren efter 2013.

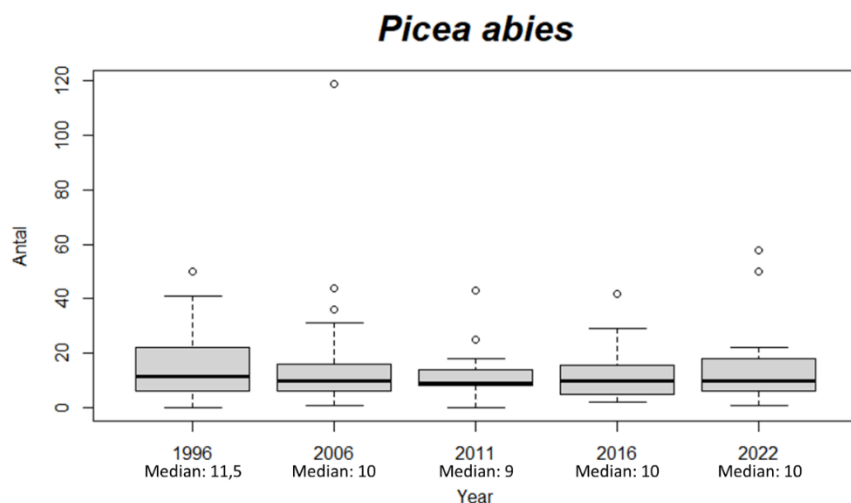
Start, end and length of the vegetation period at the IM sites from 1996 to 2023. The sites are sorted after decreasing length of the vegetation period. Non-significant trends among years are indicated by a “smoother” (red line), and significant changes (Regional Kendall test, $p < 0.05$) by a blue regression line. For Kindla, a separate analysis has also been made for the years after 2013.

12 Beståndsutveckling i Aneboda

Aneboda drabbades av stormen Gudrun (2005), vilket ledde till att 10-20% av träden i området fälldes. Efter Gudrun följde ett kraftigt angrepp av granbarkborrar, vilket dödade nästan alla granar som var > 10 cm i diameter. Skogen var innan barkborreangreppet en fullvuxen skog dominerad av gran, men med ganska många små och en del stora bokträd. Tack vare miljöövervakningen på platsen kunde utvecklingen av skogen efter störningarna undersökas, för att se om den skulle återgå till granskog, eller om det skulle ske ett skifte till blandskog eller lövdominerat med hög förekomst av bok. Detta är en sammanfattning av ett kandidatarbete om Anebodaskogens återhämtning efter störningarna (Törnqvist 2023).

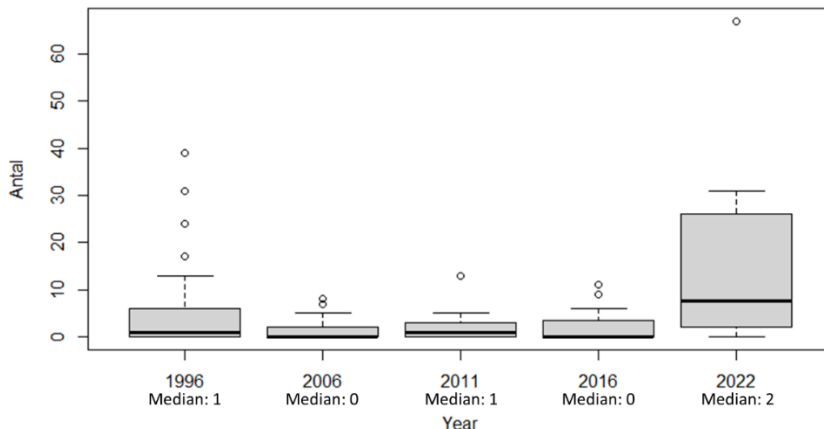
Konsekvenserna av den drastiska minskningen av fullvuxna granar innebar att det fanns färre granar som kunde sprida frön, vilket förutsågs leda till en minskad nyetablering av granar. Som följd av de öppna ytorna med blottlagd mineraljord efter stormen förväntades det att det skulle ske en etablering av björk, eftersom björkar gynnas av öppna ytor och brukar därför spridas fort efter störningar. Slutligen, eftersom det inte längre var någon ljuskonkurrens med granarna, innebär det att det fanns mer tillgängligt ljus till bokträden för tillväxt och nyetablering, därför väntades även att det skulle ske en expansion av de små bokträd som fanns i skogen redan innan störningarna om inte nyetablerad björk istället börjar hämma boken.

För att undersöka skogens utveckling efter störningarna användes data från IM:s trädtytor, där träd högre än 130 cm inventeras vart femte år. Fokus låg på antalet träd < 5 cm i diameter från perioden 1996-2022. Grövre träd säger inte så mycket om nyetablering och har uteslutits från denna sammanfattning.



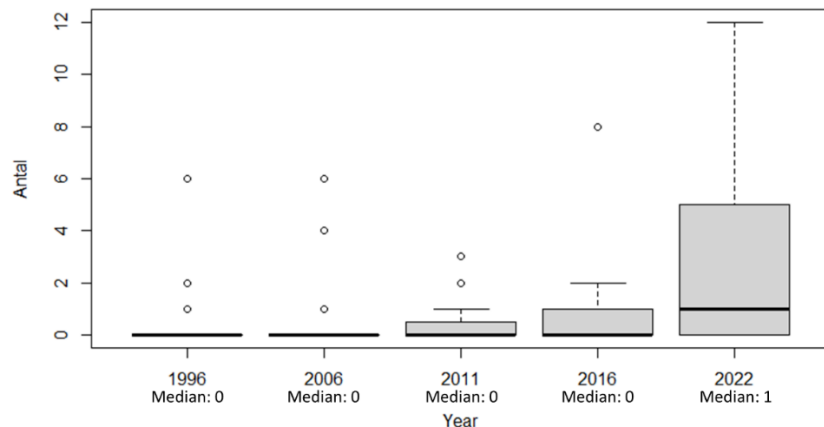
Figur 18: Fördelning av antalet granar < 5 cm diameter i brösthöjd i samtliga tillgängliga trädtytor. Y-axeln visar antalet träd och x-axeln visar inventeringsåren. Distribution of spruce trees with DBH < 5 cm across all circular monitoring plots. The y-axis shows the number of trees, and the x-axis the year of inventory.

Betula



Figur 19: Fördelning av antalet björkar < 5 cm diameter i brösthöjd i samtliga tillgängliga trädytor. Y-axeln visar antalet träd och x-axeln visar inventeringsåren. *Distribution of birch trees with DBH < 5 cm across all circular monitoring plots. The y-axis shows the number of trees, and the x-axis the year of inventory.*

Fagus sylvatica



Figur 20: Fördelning av antalet bokträd < 5 cm diameter i brösthöjd i samtliga tillgängliga trädytor. Y-axeln visar antalet träd och x-axeln visar inventeringsåren. *Distribution of beech trees with DBH < 5 cm across all circular monitoring plots. The y-axis shows the number of trees, and the x-axis the year of inventory.*

Som väntat tyder resultatet på att det inte skett någon förändrad etablering av gran (figur 18). Etableringen av björk (figur 19) var inte lika stor som var förväntat, vilket kan bero på att det saknas data från de provytorna med störst potential för etablering av björk, eftersom störningarna gjort dessa ytor otillgängliga. Slutligen visar resultatet en expansion av bok, vilket kan tyda på att ett regimskifte från grandominerad till bokdominerad skog har inletts, men det är för tidigt i processen för att avgöra detta.

Törnqvist, A (2023). *Trädbeståndets utveckling i en naturskog efter storm och barkborreangrepp.* (Kandidatarbete) Sveriges lantbruksuniversitet. Institutionen för vatten och miljö/Biologi och miljövetenskapsprogrammet.

13 Referenser

- EDC (1993). *Manual for integrated monitoring. Program phase 1993-1996*. National Board of Waters and the Environment, Helsingfors.
- ETCCDI (2009). Climate Change Indices: Definitions of the 27 core indices.
http://etccdi.pacificclimate.org/list_27_indices.shtml
- Kvarnäs, H. (2000). The Q model, a simple conceptual model for runoff simulations in catchment areas. *Dep. of Environ. Assess.*, SLU, Report 2000:15.
- Lydersen, E., S. Löfgren & T. Arnessen (2002). Chemical and biological effects of reacidification of limed water bodies – a state of the art review on metals. *Crit. Rev. Environ. Sci. Technol.* 32(2-3):73-295.
- Lydersen, E. and Löfgren, S. (2002). Potential effects of metals in reacidified limed water bodies in Norway and Sweden. *Environ Monit Assess* 73, 155-178.
- Löfgren, S. (Ed.). (1999). Integrerad övervakning av miljötillståndet i svensk skogsmark – IM. Årsrapport 1997. Naturvårdsverket rapport 5031. English summary.
- Löfgren, S. (Ed.). (2000). *Miljötillståndet i skogsmark - integrerad övervakning*. Naturvårdsverket rapport 5071. English summary.
- Löfgren, S. (Ed.). (2002). *Integrerad övervakning av miljötillståndet i svensk skogsmark – IM. Årsrapport 2000*. Inst. f. miljöanalys, SLU rapport 2002:17. English summary.
- Löfgren, S., Aastrup, M., Bringmark, L., Hultberg, H., Lewin-Pihlblad, L., Lundin, L., Karlsson, G.P. och Thunholm, B. (2011). Recovery of Soil Water, Groundwater, and Streamwater From Acidification at the Swedish Integrated Monitoring Catchments. *Ambio* 40, 836-856.
- Löfgren, S. och Cory, N. (2010). Groundwater Al dynamics in boreal hillslopes at three integrated monitoring sites along a sulphur deposition gradient in Sweden. *Journal of Hydrology* 380, 289-297.
- Löfgren, S., S. Stendera, & U. Grandin (2014). Long-term effects on nitrogen and benthic fauna of extreme climatic events – examples from two headwater streams. *Ambio* 43:58–76.
<http://dx.doi.org/10.1007/s13280-014-0562-3>
- Pihl Karlsson, G., Akselsson, C., Hellsten, S. och Karlsson, P.E. (2024). Atmospheric deposition and soil water chemistry in Swedish forests since 1985 – Effects of reduced emissions of sulphur and nitrogen. *Science of the Total Environment* 913.
- SYKE (1998). Manual for Integrated Monitoring. Finnish Environment Institute, ICP IM Programme Centre, Helsinki, Finland. https://www.syke.fi/en-US/Research_Development/Nature/Monitoring/Integrated_Monitoring/Manual_for_Integrated_Monitoring (Accessed 2025-01-10).
- Törnqvist, A (2023). *Trädbeståndets utveckling i en naturskog efter storm och barkborreangrepp*. (Kandidatarbete) Sveriges lantbruksuniversitet. Institutionen för vatten och miljö/Biologi och miljövetenskapsprogrammet.
- Weldon, J. & Grandin, U. (2019). Major disturbances test resilience at a long-term boreal forest monitoring site. *Ecology and Evolution* 9: 4275-4288. <https://doi.org/10.1002/ece3.5061>

14 Medarbetare inom IM sedan starten 1996

Nedan följer en förteckning över de ansvariga kontaktpersonerna vid Naturvårdsverket och för de olika delprojekten samt de lokala fältobservatörerna under olika tidsperioder. Fler än de direkt ansvariga har deltagit i såväl lednings- som fältarbetet.

14.1 Ansvariga för IM vid Naturvårdsverket

Anders Berntell 1995 – 1996-02-29
Eva Thörnelöf 1996-03-01 – 1996-12-31
Håkan Marklund 1997
Håkan Marklund och Yngve W. Brodin 1998
Ulla Bertills 1999 och 2001 – 2002
Yngve W. Brodin 2000
Ola Inghe 2003 – 2024
Åsa Andersson 2024 -
Håkan Staaf

14.2 Projektansvariga för delprojekten

14.2.1 Samordning, SLU ansvarig organisation

Sven Bråkenhielm 1995
Lars Lundin 1996 – 2017
Pernilla Rönnback 2018 –

14.2.2 Klimat och avrinning, SLU ansvarig organisation

Hans Kvarnäs 1996 – 2000
Lars Lundin 2001 - 2017
Mikael Östlund medarbetare 2014 –
Pernilla Rönnback 2018 –
Stefan Löfgren, vattenkemi 1996-2022

14.2.3 Deposition, IVL Svenska Miljöinstitutet ansvarig organisation

Karin Kindbom 1996 - 2000
Gunilla Pihl Karlsson 2001 – 2023
Veronika Kronnäs 2023 -
Gun Lövblad

14.2.4 Mark, SLU ansvarig organisation

Lage Bringmark 1996 – 2011
Stefan Löfgren 2012 – 2022
Magnus Simonsson 2023 –

14.2.5 Grundvatten, SGU ansvarig

Mats Aastrup 1996 – 2012
Kajsa Bovin 2013 – 2018 och 2021
Kajsa Bovin och David Eveborn 2019-2020
David Eveborn 2022 – 2024
Fredrik Whitlock 2024 –
Maria Åkesson 2024 –
Bo Thunholm medarbetare 1995 – 2024
Lotta Lewin Pihlblad 1998 – 20??
Lena Maxe

14.2.6 Vegetation, SLU ansvarig organisation

Sven Bråkenhielm 1996 – 2000
Ulf Grandin 2001 –
Qinghong Liu

14.2.7 Gårdsjön, IVL Svenska Miljöinstitutet ansvarig organisation

Hans Hultberg 1996 - 2011
Filip Moldan 2012 –
Sara Jutterström medarbetare 2012 –

14.3 Medarbetare för fältinstallationer, instrument och datahantering

Åke Iverfeldt
Sven Eriksson, fältprovtagare
Tommy Jansson 1996 – 2013, datainsamling/datakvalitet, instrumentering & fältinstallationer
Mikael Östlund 2014 – datainsamling/datakvalitet, instrumentering & fältinstallationer
Göran Gullberg 2014 – instrumentering & fältinstallationer

14.4 Redaktör för årsrapporten

Stefan Löfgren, 1998 – 2022
James Weldon, 2023 -

14.5 Fältobservatörer

14.5.1 Aneboda

Per Petersson 1996 - 2001
Fredrik Zetterqvist 2001 – 2005
Kjell Rosén 2006 – 2023
Joel Gräsman 2024 -
Therese Carlström
Elis Bengtsson
Magdalena Zuchlinska Steen

14.5.2 Gårdsjön

Hans Hultberg 1996 - 2002
Ulla Hageström 2003 - 2009
Mattias Lidqvist 2010 - 2011
Sara Jutterström 2012 –
Filip Moldan 2012 –

14.5.3 Kindla

Per Mossberg 1996 - 2013
Kent Wirenborg 2013 –

14.5.4 Gammtratten

Johan Hörnqvist 1999 –

15 Tidigare publicerade årsrapporter

- Löfgren, S (Ed.). 2000a. *Integrerad övervakning av miljötillståndet i svensk skogsmark – IM. Årsrapport 1997.* Naturvårdsverket rapport 5031. English summary.
- Löfgren, S (Ed.). 2000b. *Miljötillståndet i skogsmark - integrerad övervakning. Årsrapport 1998* Naturvårdsverket rapport 5071. English summary.
- Löfgren, S (Ed.). 2001. *Integrerad övervakning av miljötillståndet i svensk skogsmark – IM. Årsrapport 1999.* Inst. f. miljöanalys, SLU rapport 2001:10. English summary.
- Löfgren, S (Ed.). 2002. *Integrerad övervakning av miljötillståndet i svensk skogsmark – IM. Årsrapport 2000.* Inst. f. miljöanalys, SLU rapport 2002:17. English summary.
- Löfgren, S (Ed.). 2003. *Integrerad övervakning av miljötillståndet i svensk skogsmark – IM. Sammanfattning av 1997-2001 och årsrapport 2001.* Inst. f. miljöanalys, SLU rapport 2004:7. English summary.
- Löfgren, S (Ed.). 2004. *Integrerad övervakning av miljötillståndet i svensk skogsmark – IM. Sammanfattning av 2002 års resultat.* Inst. f. miljöanalys, SLU rapport 2004:23. English summary.
- Löfgren, S. (Ed.). 2005. *Integrerad övervakning av miljötillståndet i svensk skogsmark (IM) – årsrapport 2003.* Institutionen för miljöanalys, SLU rapport 2005:11. English summary.
- Löfgren, S. (Ed.). 2006. *Integrerad övervakning av miljötillståndet i svensk skogsmark (IM) – årsrapport 2004.* Institutionen för miljöanalys, SLU rapport 2006:12. English summary.
- Löfgren, S. (Ed.) 2007. *Integrerad övervakning av miljötillståndet i svensk skogsmark - IM. Årsrapport 2005.* Institutionen för miljöanalys, SLU, rapport 2007:11. English summary.
- Löfgren, S. (Ed.) 2008. *Integrerad övervakning av miljötillståndet i svensk skogsmark - IM. Årsrapport 2006.* Institutionen för miljöanalys, SLU, rapport 2008:13. English summary.
- Löfgren, S. (Ed.) 2009. *Integrerad övervakning av miljötillståndet i svensk skogsmark - IM. Årsrapport 2007.* Institutionen för vatten och miljö, SLU, rapport 2009:11. English summary.
- Löfgren, S. (Ed.) 2010. *Integrerad övervakning av miljötillståndet i svensk skogsmark - IM. Årsrapport 2008.* Institutionen för vatten och miljö, SLU, rapport 2010:10. English summary.
- Löfgren, S. (Ed.) 2011. *Integrerad övervakning av miljötillståndet i svensk skogsmark - IM. Årsrapport 2009.* Institutionen för vatten och miljö, SLU, rapport 2011:20. English summary.
- Löfgren, S. (Ed.) 2012. *Integrerad övervakning av miljötillståndet i svensk skogsmark - IM. Årsrapport 2010.* Institutionen för vatten och miljö, SLU, rapport 2012:04. English summary.
- Löfgren, S. (Ed.) 2013. *Integrerad övervakning av miljötillståndet i svensk skogsmark - IM. Årsrapport 2011.* Institutionen för vatten och miljö, SLU, rapport 2013:10. English summary.
- Löfgren, S. (Ed.) 2014. *Integrerad övervakning av miljötillståndet i svensk skogsmark - IM. Årsrapport 2012.* Institutionen för vatten och miljö, SLU, rapport 2014:17. English summary.
- Löfgren, S. (Ed.) 2015a. *Integrerad övervakning av miljötillståndet i svensk skogsmark - IM. Årsrapport 2013.* Institutionen för vatten och miljö, SLU, rapport 2015:8. English summary.
- Löfgren, S. (Ed.) 2015b. *Integrerad övervakning av miljötillståndet i svensk skogsmark - IM. Årsrapport 2014.* Institutionen för vatten och miljö, SLU, rapport 2015:18. English summary.
- Löfgren, S. (Ed.) 2016. *Integrerad övervakning av miljötillståndet i svensk skogsmark - IM. Årsrapport 2015.* Institutionen för vatten och miljö, SLU, rapport 2016:5. English summary.
- Löfgren, S. (Ed.) 2017. *Integrerad övervakning av miljötillståndet i svensk skogsmark - IM. Årsrapport 2016.* Institutionen för vatten och miljö, SLU, rapport 2017:11. English summary.
- Löfgren, S. (Ed.) 2018. *Integrerad övervakning av miljötillståndet i svensk skogsmark - IM. Årsrapport 2017.* Institutionen för vatten och miljö, SLU, rapport 2018:13. English summary.
- Löfgren, S. (Ed.) 2019. *Integrerad övervakning av miljötillståndet i svensk skogsmark - IM. Årsrapport 2018.* Institutionen för vatten och miljö, SLU, rapport 2019:7. English summary.
- Löfgren, S. (Ed.) 2020. *Integrerad övervakning av miljötillståndet i svensk skogsmark - IM. Årsrapport 2019.* Institutionen för vatten och miljö, SLU, rapport 2020:6. English summary.
- Löfgren, S. (Ed.) 2021. *Integrerad övervakning av miljötillståndet i svensk skogsmark - IM. Årsrapport 2020.* Institutionen för vatten och miljö, SLU, rapport 2021:16. English summary.
- Löfgren, S. (Ed.) 2022. *Integrerad övervakning av miljötillståndet i svensk skogsmark - IM. Årsrapport 2021.* Institutionen för vatten och miljö, SLU, rapport 2022:13. English summary.

Weldon, J. (Ed.) 2023. *Integrerad övervakning av miljötillståndet i svensk skogsmark - IM. Årsrapport 2022.*
Institutionen för vatten och miljö, SLU, rapport 2023:12. English summary.

16 Appendix

16.1 Koncentrationer

I Tabellbilagan redovisas medel- och medianvärden för halter av olika ämnen i deposition på öppet fält (Bulk deposition), krondropp (Throughfall), markvatten (Soil water), grundvatten (Groundwater) och bäckvatten (Stream water) i Gårdsjön, Aneboda, Kindla och Gammtratten under 2023. Mark- och grundvatten insamlas både i inströmningsområden (Recharge area) och utströmningsområden (Discharge area). Statistisk spridning redovisas som CV (Coefficient of Variation) och n_T visar antalet mät tillfällen under året. Antalet analyser överstiger n_T i markvattnet eftersom 6-9 lysimetrar analyseras vid varje mät tillfälle och på varje provtagningsnivå (n_o = totala antalet observationer). För grundvatten är n_o och n_T identiska. Följande piezometrar används för grundvattenstatistikken:

Område	Område nr	Piezometer nr	Hydrauliskt läge	Installationsdjup, meter under markyta
Aneboda	7700	22	Inströmning	3,2
Aneboda	7700	31	Utströmning	0,99
Kindla	6700	11	Inströmning	2,4
Kindla	6700	31	Utströmning	1,1
Gammtratten	5700	22	Inströmning	3,22
Gammtratten	5700	31	Utströmning	1,06

Koncentrationerna återfinns enligt följande indelning:

- Appendix 1: Halter i luft: SO₂, NO₂, NH₃, O₃
Appendix 2: Allmänt: pH, konduktivitet, kisel
Appendix 3: Kväve: Tot-N, Org-N, NO₃-N, NH₄-N
Fosfor: Tot-P, Res-P, PO₄-P
Organiskt material: DOC, Abs f 420 nm
Appendix 4: Jonbalans – Gårdsjön
Appendix 5: Jonbalans – Aneboda
Appendix 6: Jonbalans – Kindla
Appendix 7: Jonbalans – Gammtratten
Appendix 8: Metaller: Al, Fe, Mn, Cu, Pb, Zn, Cd
Appendix 9: Metaller: Hg, Metyl-Hg, Cr, Ni, Co, V, As, B (SITES data)

16.2 Transporter

Transporter i deposition på öppet fält, krondropp, förnafall (Litterfall) och bäckvatten har beräknats utifrån halter och uppmätta och/eller modellerade vattenflöden i Gårdsjön, Aneboda, Kindla och Gammtratten. Förnafallet inkluderar alla fraktioner.

Transporterna återfinns enligt följande indelning:

- Appendix 10: Näringsämnen: N, P, C
Appendix 11: Jonflöden: Anjoner och katjoner
Appendix 12: Metallflöden: Al, Fe, Mn, Cu, Pb, Zn, Cd (SITES data)

16.3 Biologiska mätningar

- Appendix 13: Nedbrytning av förna (Standardrespiration)
Appendix 14: Epifytiska larvar på stammar
Appendix 15: Epifytiska alger på barr och larvar på grenar
Appendix 16: Biodiversitet i undervegetationen på intensivytter
Appendix 17: Kemisk sammansättning på barr och förnafall
Appendix 18: Biomassa och bioelement i träd

16.4 Klimat och hydrologi

- | | |
|--------------|---|
| Appendix 19: | Lufttemperatur och nederbörd |
| Appendix 20: | Vattenbalanser |
| Appendix 21 | Tidsmässiga trender, utvalda biologiska variabler |
| Appendix 22 | Tidsmässiga trender, fältskiktets vegetation |
| Appendix 23: | Viktiga observationer (om inga, utelämnas) |

17 Appendix (English)

17.1 Concentrations

In the appendix, mean and median values on concentrations of different elements and substances are reported for bulk deposition at opened field, throughfall, soil water, groundwater and stream water in Gårdsjön, Aneboda, Kindla and Gammtratten during 2023. Soil water and groundwater were collected both in recharge and discharge areas. Statistical variations are reported as Coefficient of Variation (CV) and n_T shows the number of samplings occasions during the year. In soil water, the numbers of analyses are much larger than n_T , since 6-9 lysimeters are sampled at each sampling occasion and at each sampling depth (n_0 = total number of obs.). In groundwater, n_0 and n_T are identical. The following piezometers are used for the groundwater statistics:

Site	Site no	Piezometer no	Hydraulic location	Installation depth meter below soil surface
Aneboda	7700	22	Recharge	3.2
Aneboda	7700	31	Discharge	0.99
Kindla	6700	11	Recharge	2.4
Kindla	6700	31	Discharge	1.1
Gammtratten	5700	22	Recharge	3.22
Gammtratten	5700	31	Discharge	1.06

The concentrations are found in the following order:

- Appendix 1: Concentrations in air: SO₂, NO₂, NH₃, O₃
Appendix 2: General: pH, conductivity, Si
Appendix 3: Nitrogen: Tot-N, Org-N, NO₃-N, NH₄-N
Phosphorus: Tot-P, Res-P, PO₄-P
Organic matter: DOC, Abs f 420 nm
Appendix 4: Ion balances – Gårdsjön
Appendix 5: Ion balances – Aneboda
Appendix 6: Ion balances – Kindla
Appendix 7: Ion balances – Gammtratten
Appendix 8: Metals: Al, Fe, Mn, Cu, Pb, Zn, Cd
Appendix 9: Metals: Hg, Methyl-Hg, Cr, Ni, Co, V, As, B(SITES data)

17.2 Fluxes

The fluxes in deposition on open field, throughfall, litterfall and stream water have been calculated from measured concentrations and measured and/or simulated water discharge values in Gårdsjön, Aneboda, Kindla and Gammtratten. Litterfall fluxes include all fractions.

The fluxes are found in the following order:

- Appendix 10: Nutrients: N, P, C
Appendix 11: Ions: Anions and cations
Appendix 12: Metals: Al, Fe, Mn, Cu, Pb, Zn, Cd (SITES data)

17.3 Biological measurements

- Appendix 13: Decomposition in field (litter bags), standardised litter
Appendix 14: Epiphytic lichens on tree trunks
Appendix 15: Epiphytic algae on needles and lichens on twigs of spruce
Appendix 16: Biodiversity in understorey vegetation: intensity plots
Appendix 17: Chemistry of spruce needles and needles in litterfall
Appendix 18: Biomass and bioelements in trees

17.4 Meteorology and hydrology

Appendix 19:	Air temperature and precipitation
Appendix 20:	Water balances
Appendix 21	Temporal trends, selected biological variables
Appendix 22	Temporal trends, forest floor vegetation
Appendix 23:	Important observations (optional, only included when needed)

The following data tables are also attached to the PDF version of this document in Excel format and can be accessed in the "Attachments" panel of Adobe Acrobat, or online at Figshare 10.6084/m9.figshare.28183904

pH	Gårdsjön						Aneboda						Kindla						Gammtratten					
	Mean	Median	CV	n ₀	n _T		Mean	Median	CV	n ₀	n _T		Mean	Median	CV	n ₀	n _T	Mean	Median	CV	n ₀	n _T		
Bulk deposition	5.1	5.1	8%	12	12	5.1	5.2	11%	12	12	5.4	5.5	8%	11	11	5.2	5.2	9%	12	12				
Throughfall	5.3	5.4	4%	12	12	5.5	5.5	8%	12	12	5.5	5.5	6%	11	11	5.2	5.2	6%	12	12				
Soil water, recharge area, E, 8-20 cm	N/A	N/A	N/A	2	0	-	-	-	-	-	4.3	4.3	-	1	1	-	-	-	-	-	-	-	-	
Soil water, recharge area, B, 33-45 cm	4.9	4.9	47%	2	2	5.0	5.0	6%	8	2	-	-	-	-	-	4.9	5.2	17%	3	1				
Soil water, discharge area, 30-50 cm	5.2	5.2	13%	2	2	5.3	5.2	9%	4	3	-	-	-	-	-	5.8	5.8	0%	2	2				
Groundwater, recharge area, F1:4	5.1	5.1	7%	4	2	4.9	4.8	2%	4	4	4.7	4.7	1%	3	3	5.6	5.6	1%	2	2				
Groundwater, discharge area, F1:5	4.5	4.5	28%	4	4	5.0	5.0	3%	4	4	5.7	5.8	4%	3	3	5.2	5.1	3%	3	3				
Stream water	4.5	4.5	25%	12	12	4.5	4.5	2%	22	22	4.7	4.7	3%	23	23	5.7	5.7	3%	22	22				
Cond ₂₅ (mS m ⁻¹)	Gårdsjön						Aneboda						Kindla						Gammtratten					
	Mean	Median	CV	n ₀	n _T		Mean	Median	CV	n ₀	n _T		Mean	Median	CV	n ₀	n _T	Mean	Median	CV	n ₀	n _T		
Bulk deposition	1.7	1.7	49%	12	12	1.1	1.1	103%	12	12	1.0	1.1	79%	11	11	0.7	0.660	36%	12	12				
Throughfall	4.1	3.2	48%	12	12	1.7	1.7	104%	12	12	0.8	0.8	115%	11	11	0.8	0.720	62%	12	12				
Soil water, recharge area, E, 8-20 cm	N/A	N/A	N/A	2	0	-	-	-	-	-	2.9	2.9	-	1	1	-	-	-	-	-	-	-	-	
Soil water, recharge area, B, 33-45 cm	6.3	6.3	19%	2	2	2.1	2.1	32%	8	2	-	-	-	-	-	2.0	0.7	121%	3	1				
Soil water, discharge area, 30-50 cm	6.0	6.0	19%	2	2	7.8	7.5	38%	4	3	-	-	-	-	-	1.6	1.6	2%	2	2				
Groundwater, recharge area, 2,4-3,2 m	8.1	8.1	1%	4	2	6.1	6.1	3%	4	4	2.1	2.1	9%	3	3	1.6	1.6	2%	2	2				
Groundwater, discharge area, 1-1,1 m	7.0	7.0	14%	4	4	6.4	6.2	17%	4	4	4.3	4.7	17%	3	3	1.4	1.4	7%	3	3				
Stream water	7.1	7.2	13%	12	12	5.9	5.8	11%	22	22	2.3	2.3	8%	23	23	1.6	1.7	9%	22	22				
Si (mg l ⁻¹)	Gårdsjön						Aneboda						Kindla						Gammtratten					
	Mean	Median	CV	n ₀	n _T		Mean	Median	CV	n ₀	n _T		Mean	Median	CV	n ₀	n _T	Mean	Median	CV	n ₀	n _T		
Bulk deposition																								
Throughfall																								
Soil water, recharge area, E, 8-20 cm	N/A	N/A	N/A	2	0	5.1	4.8	46%	3	1	3.3	3.3	-	1	1	5.5	5.9	0.15	3	1				
Soil water, recharge area, B, 33-45 cm	4.0	4.0	22%	2	2	3.6	3.0	51%	14	4	-	-	-	-	-	2.3	2.1	49%	4	1				
Soil water, discharge area, 30-50 cm	3.3	3.3	23%	2	2	5.5	5.1	20%	18	4	4.3	4.7	26%	4	2	5.9	4.4	63%	4	3				
Groundwater, recharge area, 2,4-3,2 m	3.8	3.8	30%	4	2	5.2	5.1	14%	4	4	5.2	4.4	34%	3	3	4.0	3.9	10%	3	3				
Groundwater, discharge area, 1-1,1 m	4.2	4.3	9%	4	4	7.2	7.3	5%	4	4	9.0	7.6	39%	3	3	3.2	3.2	9%	3	3				
Stream water	3.4	3.3	13%	12	12	5.5	5.6	19%	22	22	3.9	3.9	15%	23	23	4.3	4.5	14%	22	22				

Gårdsjön	Nitrogen, phosphorus & organic carbon fluxes (kg ha ⁻¹ y ⁻¹)						
	NH ₄ -N	NO ₃ -N	Org-N	Tot-N	PO ₄ -P	Tot-P	TOC
Bulk deposition	2.6	2.7	0.7	6.0		0.11	28
Throughfall	0.9	1.7	2.0	4.6		0.09	76
Litterfall				28.7			1303
Stream water	0.17	0.50	3.38	4.05		0.03	173

Aneboda	Nitrogen, phosphorus & organic carbon fluxes (kg ha ⁻¹ y ⁻¹)						
	NH ₄ -N	NO ₃ -N	Org-N	Tot-N	PO ₄ -P	Tot-P	TOC
Bulk deposition	1.5	1.5	0.4	3.5		0.06	22
Throughfall	0.4	0.5	0.8	1.7		0.61	47
Litterfall				15.4			732
Stream water	0.05	0.08	2.11	2.23	0.005	0.04	99

Kindla	Nitrogen, phosphorus & organic carbon fluxes (kg ha ⁻¹ y ⁻¹)						
	NH ₄ -N	NO ₃ -N	Org-N	Tot-N	PO ₄ -P	Tot-P	TOC
Bulk deposition	5.0	1.4	1.4	7.9		0.50	24
Throughfall	0.9	0.4	0.6	2.0		0.08	22
Litterfall				16.7			976
Stream water	0.03	0.03	1.15	1.21	0.005	0.02	56

Gammtratten	Nitrogen, phosphorus & organic carbon fluxes (kg ha ⁻¹ y ⁻¹)						
	NH ₄ -N	NO ₃ -N	Org-N	Tot-N	PO ₄ -P	Tot-P	TOC
Bulk deposition	0.9	0.7	0.3	1.7		0.12	15
Throughfall	0.3	0.3	0.6	1.1		0.15	28
Litterfall				8.4			554
Stream water	0.02	0.03	0.86	0.91	0.006	0.03	47

Gårdsjön	Metal fluxes ($\text{mg m}^{-2} \text{y}^{-1}$)								
	Al tot	Al org	Al oorg	Fe	Mn	Cu	Pb	Zn	Cd
Bulk deposition	-	-	-	-	-	-	-	-	-
Throughfall	-	-	-	-	-	-	-	-	-
Litterfall	42			36	163	1.7	1.1	26.0	0.06
Stream water	603	439	164	674	12	-	-	-	-

Aneboda	Metal fluxes ($\text{mg m}^{-2} \text{y}^{-1}$)								
	Al tot	Al org	Al oorg	Fe	Mn	Cu	Pb	Zn	Cd
Bulk deposition	7.4	-	-	4.4	1.4	0.5	0.2	5.3	0.01
Throughfall	4.4	-	-	3.7	68.2	1.1	0.1	5.5	0.01
Litterfall	33			21	278	0.6	0.1	22.6	0.05
Stream water	196	116	79	362	21	0.2	0.4	1.6	0.02

Kindla	Metal fluxes ($\text{mg m}^{-2} \text{y}^{-1}$)								
	Al tot	Al org	Al oorg	Fe	Mn	Cu	Pb	Zn	Cd
Bulk deposition									
Throughfall									
Litterfall	37			24	196	0.5	0.4	14.5	0.02
Stream water	244	118	127	218	19				

Gammtratten	Metal fluxes ($\text{mg m}^{-2} \text{y}^{-1}$)								
	Al tot	Al org	Al oorg	Fe	Mn	Cu	Pb	Zn	Cd
Bulk deposition									
Throughfall									
Litterfall	16			11	140	0.3	0.1	11.1	0.02
Stream water	108	82	26	291	11				

Gårdsjön	Metal fluxes ($\mu\text{g m}^{-2} \text{y}^{-1}$)						
	Hg	Metyl-Hg	Cr	Ni	Co	V	As
Bulk deposition							
Throughfall							
Litterfall	17		1381	1732	342	107	161
Stream water							

Aneboda	Metal fluxes ($\mu\text{g m}^{-2} \text{y}^{-1}$)						
	Hg	Metyl-Hg	Cr	Ni	Co	V	As
Bulk deposition	2.3	0.1	37	80	10	70	31
Throughfall	4.0	0.1	24	170	19	48	29
Litterfall	6		1032	930	157	40	8
Stream water	2.9	0.2	157	217	294	478	108

Kindla	Metal fluxes ($\mu\text{g m}^{-2} \text{y}^{-1}$)						
	Hg	Metyl-Hg	Cr	Ni	Co	V	As
Bulk deposition							
Throughfall							
Litterfall	13		970	1082	154	65	12
Stream water							

Gammtratten	Metal fluxes ($\mu\text{g m}^{-2} \text{y}^{-1}$)						
	Hg	Metyl-Hg	Cr	Ni	Co	V	As
Bulk deposition							
Throughfall							
Litterfall	6		848	667	97	23	7
Stream water							

Sampling place	Gårdsjön			Aneboda			Kindla			Gammtratten			
Incubation period	1 yr	2 yr	3 yr	1 yr	2 yr	3 yr	1 yr	2 yr	3 yr	1 yr	2 yr	3 yr	
Sampling date	091026			091009			091022			090928			
Decomposition ratio 2009 (weight loss in % of original weight)	Mean median n _o	31.6 30.2 17	64.7 64.9 17	81.7 80.7 17	23.9 22.9 18	57.5 59.4 15	75.5 77.1 16	27.4 24.9 18	57.7 56.5 18	80.3 82.8 18	24.1 24.8 17	53.5 54.8 17	72.5 72.6 16
Sampling date	101010			101003			101022			100928			
Decomposition ratio 2010 (weight loss in % of original weight)	Mean median n _o	41.1 40.8 18	67.0 70.0 18	75.1 73.8 17	41.6 41.5 17	65.5 69.3 20	81.8 83.9 16	30.9 31.0 18	48.2 46.7 18	71.4 72.8 18	35.1 35.1 18	53.5 52.3 17	78.4 79.1 17
Sampling date	111103			111015			111020			111003			
Decomposition ratio 2011 (weight loss in % of original weight)	Mean median n _o	38.5 35.8 15	62.7 64.1 16	78.9 76.5 17	38.6 39.6 17	62.0 63.1 17	77.0 77.5 14	33.1 34.2 18	65.1 65.4 18	71.4 71.4 18	26.2 24.9 18	45.9 45.4 18	62.6 67.3 17
Sampling date	121106			121011			121016			120927			
Decomposition ratio 2012 (weight loss in % of original weight)	Mean median n _o	42.2 41.5 16	69.3 68.7 16	75.8 79.3 17	34.8 34.0 16	57.1 57.4 17	76.5 75.4 16	30.6 30.9 18	59.8 61.7 18	76.7 78.1 17	28.6 29.5 16	44.4 42.2 18	59.6 66.0 15
Sampling date	131017			131121			131001			131001			
Decomposition ratio 2013 (weight loss in % of original weight)	Mean median n _o	32.1 30.0 18	59.8 60.5 17	65.0 55.4 16	30.3 31.5 18	51.5 53.4 16	62.7 63.0 14	26.2 26.1 19	53.1 50.7 18	69.7 67.9 17	28.9 28.0 18	45.7 47.9 18	61.3 60.0 14
Sampling date	141024			141030			141020			140923			
Decomposition ratio 2014 (weight loss in % of original weight)	Mean median n _o	37.2 37.3 17	60.4 61.4 17	70.9 70.8 15	41.0 38.9 15	58.9 57.6 15	61.0 58.2 12	35.9 37.2 18	53.5 53.6 18	72.1 70.8 18	26.9 26.1 18	47.4 45.2 18	62.4 62.7 16
Sampling date	151028			151009			150924			150923			
Decomposition ratio 2015 (weight loss in % of original weight)	Mean median n _o	47.1 46.4 17	71.4 72.2 17	72.5 72.5 20	32.4 29.7 11	58.9 54.6 13	64.5 67.4 13	35.8 36.0 19	64.7 63.2 18	74.6 76.1 18	31.7 32.6 18	47.1 48.1 18	67.5 71.1 18
Sampling date	161020			161014			161013			160922			
Decomposition ratio 2016 (weight loss in % of original weight)	Mean median n _o	35.4 32.9 17	65.1 67.3 15	69.2 68.9 15	30.9 29.9 14	52.5 52.3 15	66.8 71.8 17	34.5 33.8 18	63.1 64.3 18	76.5 76.6 17	37.4 36.2 17	55.2 55.3 18	70.3 73.1 18
Sampling date	171108			171012			171013			170823			
Decomposition ratio 2017 (weight loss in % of original weight)	Mean median n _o	37.1 37.6 19	65.1 63.3 18	78.2 77.9 15	25.1 25.8 17	56.9 57.8 14	61.3 60.0 12	25.4 23.5 17	54.5 55.0 18	75.6 77.2 18	20.1 18.5 16	42.2 42.5 16	60.3 62.2 18
Sampling date	181011			180912			180928			180822			
Decomposition ratio 2018 (weight loss in % of original weight)	Mean median n _o	32.7 33.1 18	56.0 54.9 18	69.4 68.9 15	25.8 25.6 18	45.8 45.9 18	58.9 58.4 13	30.4 31.2 18	48.1 48.6 18	71.7 71.7 18	26.2 26.8 17	36.6 34.6 17	57.1 55.2 18
Sampling date	191002			191029			190918			190916			
Decomposition ratio 2019 (weight loss in % of original weight)	Mean median n _o	43.3 41.6 18	59.2 60.2 18	68.7 70.9 17	39.2 38.5 17	52.4 52.8 19	69.5 72.9 16	34.0 34.5 18	54.5 54.8 18	64.0 66.1 18	33.1 32.2 17	45.3 45.4 16	54.8 55.9 16
Sampling date	201005			201008			201027			201016			
Decomposition ratio 2020 (weight loss in % of original weight)	Mean median n _o	45.4 45.0 18	62.6 62.6 18	69.1 69.1 17	40.4 40.0 18	63.3 66.1 17	64.7 66.6 16	36.9 36.3 18	62.9 63.1 17	72.9 73.6 18	40.7 41.1 17	44.9 44.6 15	62.8 61.0 16

Sampling place	Gårdsjön			Aneboda			Kindla			Gammtratten		
Incubation period	1 yr	2 yr	3 yr	1 yr	2 yr	3 yr	1 yr	2 yr	3 yr	1 yr	2 yr	3 yr
Sampling date	211026			211025			210922			211005		
Decomposition ratio 2021 (weight loss in % of original weight)												
Mean	45.4	69.2	69.6	39.1	60.7	70.1	35.0	59.7	75.2	37.7	56.9	69.5
median	45.7	70.2	70.9	36.7	60.6	72.3	35.2	61.1	76.2	39.4	59.5	70.8
n _o	18	17	18	18	18	14	18	18	15	18	18	18
Sampling date	221025			220920			220830			220908		
Decomposition ratio 2022 (weight loss in % of original weight)												
Mean	42.3	65.3	73.0	28.7	57.3	66.0	35.9	61.1	72.6	32.2	55.5	69.1
median	38.9	64.4	71.3	29.1	56.8	71.5	37.4	60.5	74.3	32.3	57.3	68.6
n _o	18	16	16	18	18	15	18	18	18	18	18	18
Sampling date	231102			231023			230822					
Decomposition ratio 2023 (weight loss in % of original weight)												
Mean	47.4	69.3	76.3	44.2	62.9	69.5	33.9	66.3	77.0	39.2	51.4	70.8
median	47.8	68.5	76.8	44.3	66.7	72.9	34.2	68.0	78.0	39.1	52.7	73.2
n _o	18	18	18	17	18	16	18	18	18	18	18	18

Understorey vegetation: intensive plot

See also appendix 23

2023							
Kindla 2	species	list	mean %	median	CV%	freq	n spec.
n:o of species total			18	16	50		50
cover field layer			84	91	19		21
cover bottom layer							30
cover dominant 1	SPHA GIR	M2	51	55	65		
cover dominant 2	SPHA RUS	M2	9	1	168		
cover dominant 3	VACC MYR	B4	8	6	97		
plot frequency dominant 1	SPHA GIR	M2				30	
plot frequency dominant 2	VACC MYR	B4				26	
plot frequency dominant 3	DESC FLE	B4				21	
species diversity index (H')						1.9	
Equitability (J)						0.58	
Ellenberg N index (N)						2.0	32
Ellenberg pH index (R)						1.5	32

Comments

Observations on intensive plot 40x40 m with 32 subplots 0,5x0,5 m distributed by stratified random sampling. list = Nordic Council of Ministers Code Centre: B4-vascular plants, M2-mosses, L2-lichens.

Indices calculated with all sub-plots summed to one plot. Species diversity index: Shannon-Wiener $H' = -\sum(pi \times \log2pi)$, where pi = proportional cover for species i. N- and R-indices based on Ellenberg indicator values: $\sum(ci \times Elli)/\sumci$, where ci = cover of species i and $Elli$ = Ellenberg value for species i.

Uppmätt nederbörd (öppet fält), krondropp och avrinning i Gårdsjön 2023

Kronavdunstning är beräknad som nederbörd minus krondropp. Enhet mm.

Månad	Nederbörd	Krondropp	Kronavdunstning	Avrinning	nederbörd - avrinning
1	226	142	84	187	40
2	69	57	12	78	-9
3	145	112	33	131	14
4	21	11	10	46	-25
5	27	29	-2	6	21
6	19	2	18	2	17
7	280	251	30	72	209
8	85	70	15	105	-20
9	106	93	13	36	71
10	120	105	15	81	39
11	60	41	20	89	-29
12	129	102	28	113	17
Summa	1290	1014	276	944	345
% av NBD	100%	79%	21%	73%	27%

Uppmätt nederbörd (öppet fält), krondropp och avrinning i Aneboda 2023

Kronavdunstning är beräknad som nederbörd minus krondropp. Enhet mm.

Månad	Nederbörd	Krondropp	Kronavdunstning	Avrinning	nederbörd - avrinning
1	141	141	-1	86	55
2	49	45	4	32	17
3	101	9	92	46	55
4	11	11	0	23	-12
5	3	6	-3	4	-2
6	56	53	3	0	56
7	70	84	-14	2	68
8	164	84	80	33	131
9	12	17	-5	20	-8
10	92	86	7	24	68
11	80	64	17	49	31
12	73	40	33	42	31
Summa	852	639	214	363	489
% av NBD	100%	75%	25%	43%	57%

Uppmätt nederbörd (öppet fält), krondropp och avrinning i Kindla 2023

Kronavdunstning är beräknad som nederbörd minus krondropp. Enhet mm.

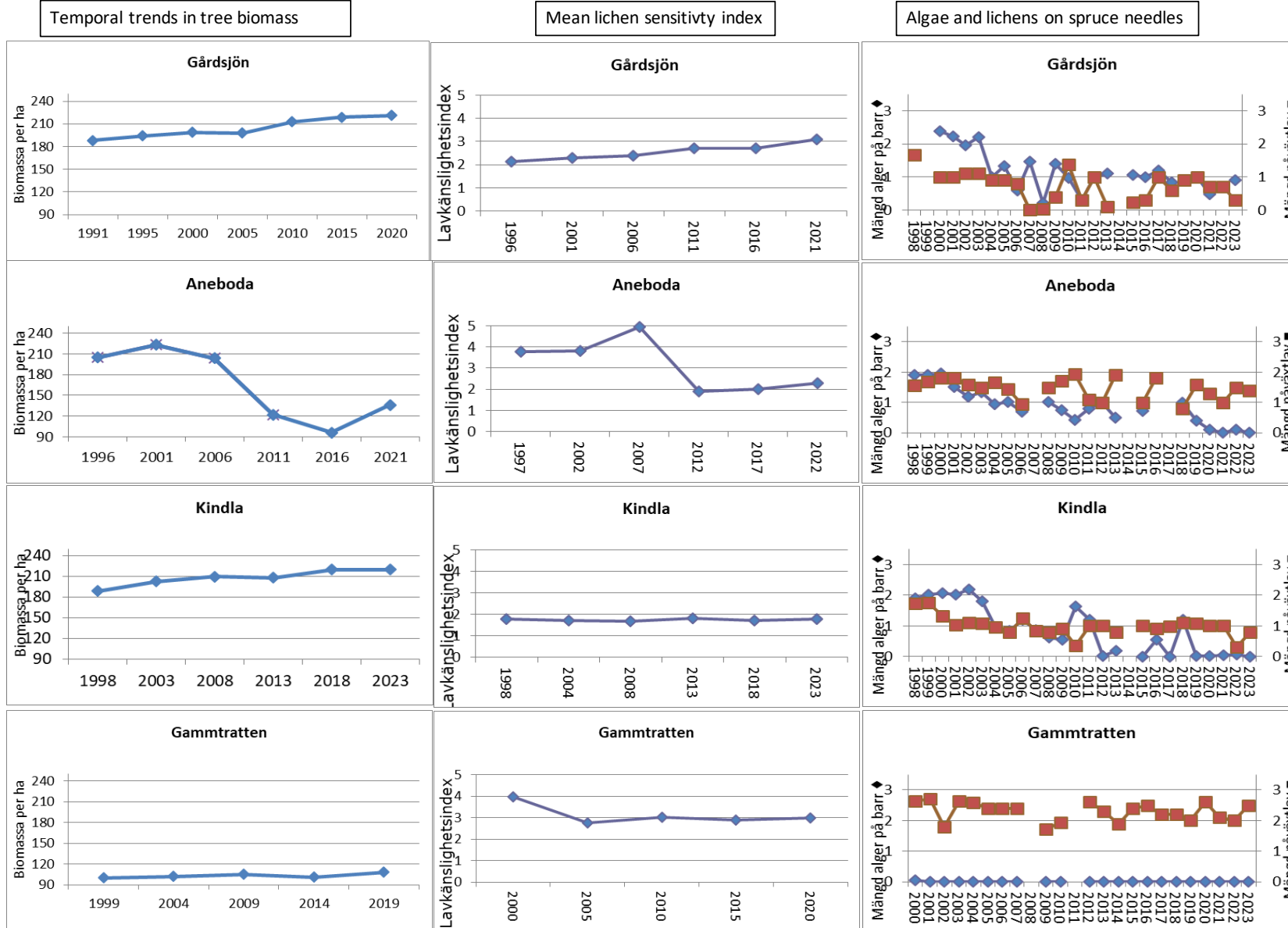
Månad	Nederbörd	Krondropp	Kronavdunstning	Avrinning	nederbörd - avrinning
1	117	112	4	90	26
2	38	22	16	22	16
3	73	44	30	44	30
4				56	-56
5	11	32	-21	15	-5
6	13	14	-1	2	12
7	169	162	7	22	146
8	297		297	119	179
9	57	72	-16	15	41
10	24	27	-2	15	9
11	113	105	8	86	27
12	124	83	40	28	96
Summa	1036	674	362	514	522
% av NBD	100%	65%	35%	50%	50%

Uppmätt nederbörd (öppet fält), krondropp och avrinning i Gammtratten 2023

Kronavdunstning är beräknad som nederbörd minus krondropp. Enhet mm.

Månad	Nederbörd	Krondropp	Kronavdunstning	Avrinning	nederbörd - avrinning
1	52	59	-7	6	46
2	25	21	4	3	22
3	25	28	-4	5	20
4	51	19	32	38	12
5	55	33	21	205	-151
6	10	17	-7	15	-5
7	119	97	22	15	103
8	154	93	61	64	90
9	55	49	5	24	31
10	38	37	1	34	4
11	42	45	-3	20	22
12	30	39	-9	17	13
Summa	654	536	117	446	207
% av NBD	100%	82%	18%	68%	32%

This page shows some of the metrics in the previous appendices, illustrated in graphs. See original appendices for explanations.



Temporal patterns in forest floor vegetation

The diagrams show sub plot centroids (multivariate mean values) in ordinations based on all field and moss layer plant species. The centroids represent 32 subplots in each diagram and year. The closer years are to each other, the higher similarities in species composition. See text in the Annual report 2010 for a description. Note different scale in the plot for Aneboda.

